

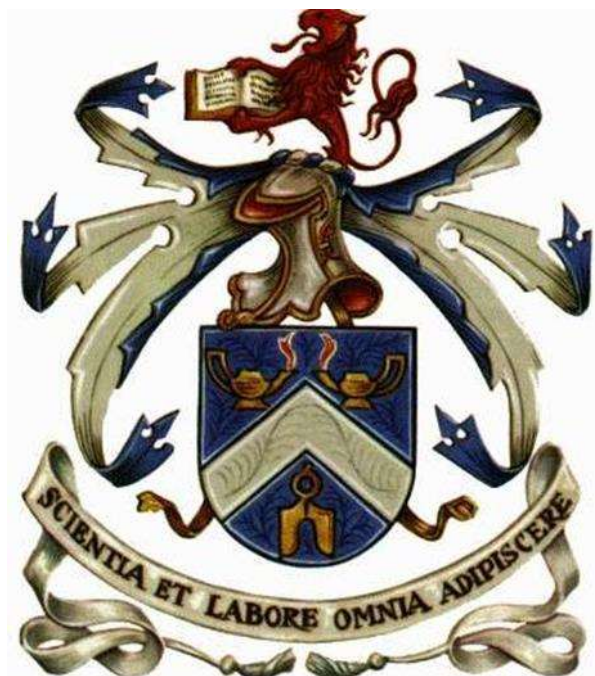
Universidade de Trás-os-Montes e Alto Douro

Projeto/estágio

Produção de coagulantes orgânicos em pó e tratamento de efluentes vinícolas por coagulação-flocação-decantação (CFD)

Licenciatura em Ciências do Ambiente

Márcia Sofia Gomes Teixeira



Universidade de Trás-os-Montes e Alto Douro

Vila Real, 2020

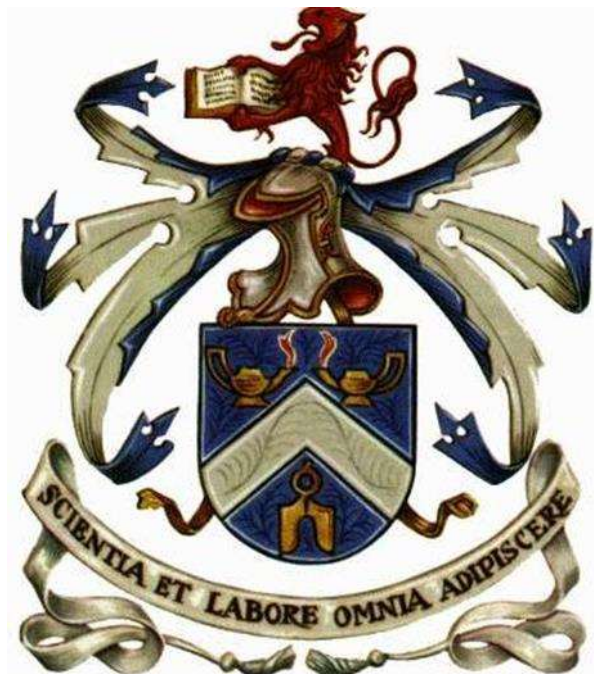
Universidade de Trás-os-Montes e Alto Douro

Projeto/estágio

Produção de coagulantes orgânicos em pó e tratamento de efluentes vinícolas por coagulação-flocação-decantação (CFD)

Licenciatura em Ciências do Ambiente

Márcia Sofia Gomes Teixeira



Universidade de Trás-os-Montes e Alto Douro

Vila Real, 2020

Instituição	Universidade de Trás-os-Montes e Alto Douro
Curso	Licenciatura em Ciências do Ambiente
Título	Produção de coagulantes orgânicos em pó e tratamento de efluentes vinícolas por coagulação-flocação-decantação (CFD)
Autor(a)	Márcia Sofia Gomes Teixeira
Orientador	Prof. Dr. José Alcides Silvestre Peres

Declaração

De acordo com o meu conhecimento, este trabalho não contém material publicado previamente por outros autores, com exceção dos trabalhos referenciados pelo Mendeley.

Este trabalho foi expressamente elaborado como dissertação original para o efeito de obtenção de grau de Licenciado em Ciências do Ambiente.

As doutrinas apresentadas no presente trabalho são da exclusiva responsabilidade do autor.

Assinatura:

(Márcia Sofia Gomes Teixeira)

Data: 2020/09/15

Orcid ID 0000-0002-7717-7600

Ciência ID B21A-5A5D-5525

Agradecimentos

Agradeço a todos aqueles que, de alguma forma permitiram que este relatório de estágio se concretizasse.

Ao Professor Doutor José Alcides Silvestre Peres, gostaria de agradecer a oportunidade que me proporcionou em realizar este Estágio, assim como pela sua orientação, disponibilidade, confiança e dedicação despendidos ao longo deste trajeto.

Ao Nuno Jorge, meu coorientador, pela sua disponibilidade, dedicação, constante incentivo e paciência. Foi muito importante para a minha aprendizagem e desenvolvimento, tendo uma contribuição fundamental para o sucesso deste trabalho.

Agradeço ao Centro de Química de Vila Real pelos serviços e equipamentos que me possibilitaram e as todos os membros que tive a oportunidade de trabalhar.

À minha família e ao meu namorado, pela motivação, por todo o amor, compreensão, preocupação para comigo, pelo seu apoio incondicional, incentivo e paciência demonstrados e total ajuda na superação dos obstáculos que ao longo desta caminhada foram surgindo.

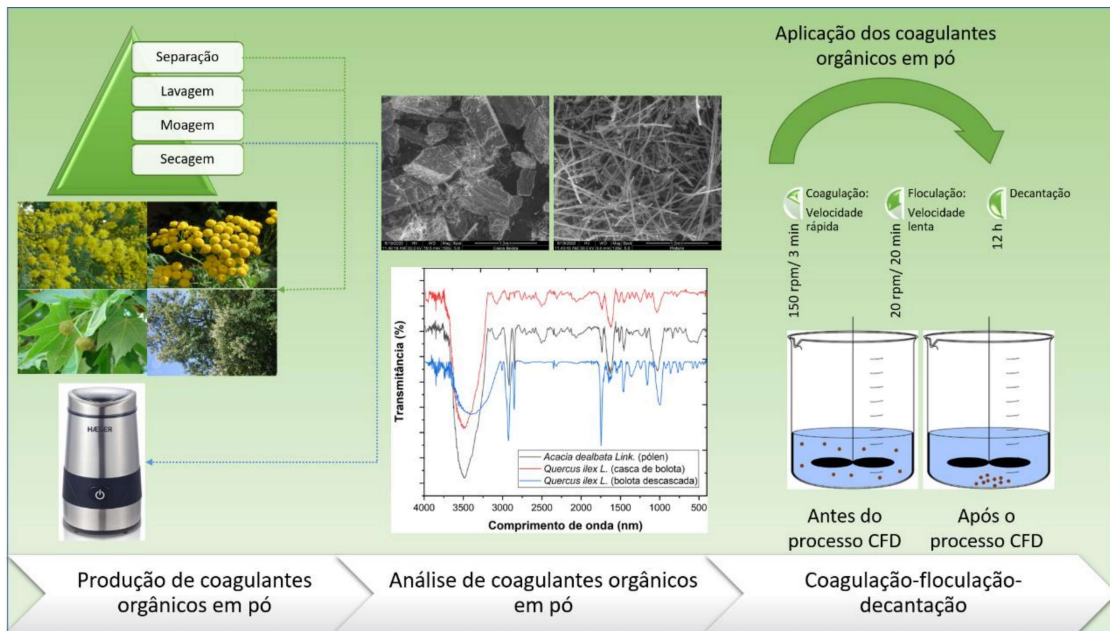
À minha colega e amiga Joana pela sua amizade, a sua sempre inteira disponibilidade, pela ajuda preciosa dada ao desenvolvimento do meu trabalho, pela sua paciência. És uma amiga para a vida.

Aos meus amigos pela vossa amizade, por estarem comigo ao meu lado durante esta fase, pelo companheirismo, força e apoio em todos os momentos.

Destaques

- (1) É possível utilizar as plantas para obtenção de coagulantes orgânicos.
- (2) O coagulante à base de *Acacia dealbata Link.* (pólen), obtém uma elevada remoção de CQO (46,6%).
- (3) A adição de PVPP melhora a eficiência da coagulação.
- (4) Os COP são mais seguros para o ambiente.

Resumo Gráfico



Resumo

O efluente vinícola (EV) é um efluente muito tóxico para o ambiente. Este é caracterizado por uma elevada turbidez (296 NTU), sólidos suspensos totais (SST =750 mg/L) e carência química de oxigénio (CQO =2145 mg/L). De forma a tratar o EV, foi desenvolvido um processo de coagulação-flocação-decantação (CFD) em que foram aplicados coagulantes orgânicos em pó (COP) à base de *Acacia dealbata Link.* (pólen), *Quercus ilex. L.* (casca da bolota), *Quercus ilex. L.* (bolota descascada), *Platanus x acerifolia (Aiton) Willd.* (sementes) e *Tanacetum vulgare L.*(sementes). Foi também aplicado sulfato de alumínio para avaliar a eficiência dos COP. Após a avaliação do coagulante à base da *Acacia dealbata Link.* (pólen), observou-se que nas melhores condições pH 3,0, dosagem 0,1 g/L, mistura rápida 120 rpm/1 min, mistura lenta 20 rpm/ 30 min, sedimentação 12 h, [PVPP] = 45 mg/L, temperatura 298 K, se obtinha uma remoção de 46,6, 97,6, 94,7% correspondente à CQO, turbidez e SST, respetivamente. Também se observou uma baixa produção de volume de borra (66 mL/L), o que indica uma elevada recuperação de água. Finalmente, foi também observado neste trabalho que a aplicação de COPs obtiveram uma baixa lixiviação de alumínio (< 10 mg/L), ao contrário da aplicação do sulfato de alumínio (> 10 mg/L). Assim conclui-se que aplicação dos COPs pode ser uma alternativa viável ao sulfato de alumínio.

Palavras chave: (1) Efluente vinícola; (2) Coagulantes orgânicos em pó; (3) Processo de coagulação-flocação-decantação; (4) *Acacia dealbata Link.*; (5) Sulfato de alumínio; (6) PVPP.

Abstract

The winery wastewater (WW) is a very toxic effluent for the environment. It is characterized by high turbidity (296 NTU), total suspended solids (TSS =750 mg/L) and chemical oxygen demand (COD =2145 mg/L). In order to treat the WW, a coagulation-flocculation-decantation process (CFD) was developed in which organic coagulants powder (OCP) based on *Acacia dealbata Link.* (pollen), *Quercus ilex L.* (acorn skin), *Quercus ilex L.* (peeled acorn), *Platanus x acerifolia (Aiton) Willd.* (seeds) and *Tanacetum vulgare L.*(seeds). Aluminum sulfate was also applied to evaluate the efficiency of the OCPs. After the evaluation of the coagulant based on *Acacia dealbata Link.* (pollen), it was observed that in the best conditions pH 3.0, dosage 0.1 g/L, fast mixing 120 rpm/1 min, slow mixing 20 rpm/ 30 min, sedimentation [PVPP] = 45 mg/L, temperature 298 K, a removal of 46.6, 97.6, 94.7% corresponding to COD, turbidity and TSS respectively. A low sludge volume production (66 mL/L) was also observed, which indicates a high water recovery. Finally, it was also observed in this work that the application of OCPs obtained a low leaching of aluminum (< 10 mg/L), contrary to the application of aluminum sulfate (> 10 mg/L). Thus, it was concluded that the application of OCPs may be a viable alternative to aluminum sulfate.

Keywords: (1) Winery Wastewater; (2) Organic coagulants powder; (3) Coagulation-flocculation-decantation process; (4) *Acacia dealbata Link.*; (5) Aluminum sulfate; (6) PVPP.

Índice Geral

Agradecimentos	vii
Destaques	viii
Resumo Gráfico	ix
Resumo	x
Abstract.....	xi
Índice de Figuras	xv
Índice de Tabelas	xvii
Lista de Abreviações	xviii
I. INTRODUÇÃO	1
I.1 Enquadramento.....	1
I.2 Motivação e Objetivos	2
I.3 Organização do trabalho.....	4
I.4 Lista de publicações	5
I.5 Bibliografia	5
II. ESTADO DE ARTE	7
II.1 Efluente vinícola	7
II.1.1 Origem do efluente vinícola.....	7
II.1.2 Caracterização do efluente vinícola	8
II.1.3 Problemas de contaminação associados ao efluente vinícola	9
II.1.4 Processos de produção do vinho	9
II.1.4.1 Receção das uvas	10
II.1.4.2 Desengace e esmagamento	10
II.1.4.3 Maceração	10
II.1.4.4 Fermentação alcoólica	10
II.1.4.5 Fermentação malolática	11

II.1.4.6 Decantação	11
II.1.4.7 Maturação	11
II.1.4.8 Clarificação e filtração	12
II.1.4.9 Estabilização	12
II.1.4.10. Engarrafamento.....	13
II.2 Processo de Coagulação-Flocação-Decantação.....	14
II.2.1 Fundamentos do processo	14
II.2.1.1 Adsorção por neutralização de cargas.....	14
II.2.1.2 Precipitação de coagulantes (ou coagulação em flocos).....	14
II.2.1.3 Coagulação por adsorção	15
II.2.1.4 Ligação entre partículas	15
II.2.2 Tipos de coagulantes:.....	15
II.2.2.1 Coagulantes metálicos	15
II.2.2.2 Polímeros	16
II.2.2.3 Coagulantes orgânicos	16
II.2.3 Aplicação do processo de coagulação-flocação-decantação no tratamento de efluentes.....	19
II.2.4 Benefícios e limitações do método	21
II.3. Bibliografia	23
III. MATERIAL E MÉTODOS.....	29
III.1 Reagentes utilizados e recolha de efluente vinícola (EV)	29
III.2 Técnicas analíticas	29
III.3 Preparação de coagulantes orgânicos em pó	30
III.4 Caracterização do pó vegetal	31
III.5 Descrição do procedimento coagulação-flocação-decantação em batch.....	31
III.6 Bibliografia.....	33
IV. RESULTADOS E DISCUSSÃO	34

IV.1 Caracterização dos coagulantes orgânicos em pó	34
IV.1.1 Análise de FTIR	34
IV.1.2 Análise Microscopia Eletrónica de Varrimento (MEV).....	37
IV.1.3 Análise dos minerais	38
IV.2 Otimização do processo de coagulação-flocação-decantação.....	39
IV.2.1 Efeito do pH versus dosagem dos coagulantes (Fase 1)	40
IV.2.2 Efeito da agitação (Fase 2)	43
IV.2.3 Efeito do polieletrólico (PVPP) no processo de coagulação-flocação-decantação (Fase 3)	45
IV.2.4 Efeito do polieletrólico na produção de borra.....	47
IV.2.5 Determinação da concentração de alumínio residual	48
IV.3 Bibliografia.....	50
V. CONCLUSÕES E PERSPECTIVAS FUTURAS	55
V.1 Resumo dos principais resultados e conclusões	55
V.2 Perspetivas Futuras	56
Anexo	58

Índice de Figuras

Fig. I. 1 – (a) <i>Acacia dealbata</i> Link., (b) <i>Quercus ilex</i> L., (c) <i>Platanus x acerifolia</i> (Aiton) Willd., (d) <i>Tanacetum vulgare</i> L.....	2
Fig. II. 1- Produção e consumo de vinho em Portugal (OIV, 2019).....	8
Fig. II. 2 – Processo de produção de vinho (Jackson, 2008).	13
Fig. II. 3 – Representação gráfica das plantas que podem ser utilizadas como coagulantes orgânicos.....	17
Fig. IV. 1 – Espectro FTIR de (a) coagulantes em pó <i>Acacia dealbata</i> Link. (pólen), <i>Quercus ilex</i> L. (casca da bolota) e <i>Quercus ilex</i> L. (bolota descascada), (b) <i>Platanus x acerifolia</i> (Aiton) Willd. (sementes), <i>Tanacetum vulgare</i> L. (sementes) e Polivinilpirrolidona (PVPP).	37
Fig. IV. 2 – Imagens de microscopia electrónica de varrimento (MEV) de coagulantes orgânicos em pó <i>Acacia dealbata</i> Link. (pólen), <i>Quercus ilex</i> L. (casca da bolota), <i>Quercus ilex</i> L. (bolota descascada), <i>Platanus x acerifolia</i> (Aiton) Willd. (sementes) e <i>Tanacetum vulgare</i> L. (sementes).....	38
Fig. IV. 3- Efeito do pH vs dosagem de coagulante na eficiência do processo de coagulação-flocação-decantação, após a aplicação de (a) <i>Acacia dealbata</i> Link. (pólen), (b) <i>Quercus ilex</i> L. (casca da bolota), (c) <i>Quercus ilex</i> L. (bolota descascada), (d) <i>Platanus x acerifolia</i> (Aiton) Willd. (sementes), (e) <i>Tanacetum vulgare</i> L. (sementes), (f) sulfato de alumínio. Condições operacionais do processo de CFD ($[CQO]_0 = 2145$ mg O ₂ /L, turbidez = 296 NTU, SST = 750 mg/L, mistura rápida 150 rpm/3 min, mistura lenta 20 rpm/20 min, temperatura 298 K, tempo de sedimentação 12 h).....	43
Fig. IV. 4- Efeito das condições de mistura na remoção de (a) turbidez, (b) SST, (c) CQO. Condições operacionais de CFD ($[CQO]_0 = 2145$ mg O ₂ /L, turbidez = 296 NTU, SST = 750 mg/L, temperatura 298 K, tempo de sedimentação 12 h).....	45
Fig. IV. 5- Efeito da adição de polielectrólito (PVPP) na remoção de (a) turbidez, (b) SST, (c) CQO, (d) volume de borra. Condições operacionais de CFD ($[CQO]_0 = 2145$ mg O ₂ /L, turbidez = 296 NTU, SST = 750 mg/L, temperatura 298 K, tempo de sedimentação 12 h).....	48
Fig. V. 1- Esquema do tratamento a aplicar para obter água para rega.....	57

Índice de Tabelas

Tabela II. 1- Valores limite de emissão (VLE) na descarga de águas residuais (Decreto-Lei nº 236/98 de 1 de Agosto)	9
Tabela II. 2 – Aplicação do processo de coagulação-flocação com coagulantes orgânicos no tratamento de águas residuais.	20
Tabela III. 1 – Caracterização do efluente vinícola	30
Tabela III.2 – Identificação da planta, com descrição da espécie, subespécie, parte recolhida e número de herbário.	31
Tabela IV. 1 Resultados da concentração de ferro, cobre, sódio, potássio, cálcio e magnésio presentes em 500 mg de coagulantes orgânicos em pó <i>Acacia dealbata Link.</i> (pólen), <i>Quercus ilex L.</i> (casca da bolota), <i>Quercus ilex L.</i> (bolota descascada), <i>Platanus x acerifolia (Aiton) Willd.</i> (sementes) e <i>Tanacetum vulgare L.</i> (sementes) em mg/L....	39
Tabela IV. 2 – Melhores condições operacionais de coagulantes em pó <i>Acacia dealbata Link.</i> (pólen), d <i>Quercus ilex L.</i> (casca da bolota), <i>Quercus ilex L.</i> (bolota descascada), <i>Platanus x acerifolia (Aiton) Willd.</i> (sementes), <i>Tanacetum vulgare L.</i> (sementes) e sulfato de alumínio para o processo CFD ($[CQO]_0 = 2145 \text{ mg O}_2/\text{L}$, turbidez = 296 NTU, SST = 750 mg/L, temperatura 298 K, tempo de sedimentação 12 h).	39
Tabela IV. 3 - Condições de mistura aplicadas no processo de coagulação-flocação-decantação.	44
Tabela IV. 4- Concentração residual de alumínio (Al^{3+}) (mg/L) em função da dosagem de polieletrólito (PVPP). ($[CQO]_0 = 2145 \text{ mg O}_2/\text{L}$, turbidez = 296 NTU, SST = 750 mg/L, temperatura 298K, tempo de sedimentação 12h).....	49
Tabela A. 1 – Efeito da dosagem vs pH na remoção de CQO.....	58
Tabela A. 2 – Efeito da dosagem vs pH na remoção de turbidez.	59
Tabela A. 3 – Efeito da dosagem vs pH na remoção de SST.	60
Tabela A. 4 – Efeito do tipo de mistura na remoção de CQO, turbidez e SST.	61
Tabela A. 5 – Efeito da adição de PVPP na remoção de CQO, turbidez, SST, volume de borra e lixiviação de Al^{3+}	62

Lista de Abreviações

CBO ₅	Carência bioquímica de oxigénio
CFD	Coagulação-flocação-decantação
COP	Coagulante orgânico em pó
CQO	Carência química de oxigénio
EV	Efluente vinícola
PVPP	Polivinilpirrolidona
SST	Sólidos suspensos totais

I. INTRODUÇÃO

I.1 Enquadramento

O efluente vinícola (EV) é considerado um dos efluentes mais tóxicos para o ambiente, devido à sua elevada carga orgânica e teor em polifenóis. O seu elevado conteúdo em sólidos, bem como a sua cor são capazes de impedir a luz de penetrar nas águas de rios e lagos. Este efluente, no entanto, é considerado sazonal, pois o pico de produção de EV é obtido durante as vindimas, sendo diminuído durante o resto do ano.

De forma a encontrar uma alternativa de tratamento, foi testado um método inovador, no qual o EV passará por um pré-tratamento de coagulação-flocação-decantação e depois por um processo de oxidação avançado. O projeto foi intitulado “Enhanced degradation of organic pollutants by pre-treatment with organic coagulants powder followed by Fe(II)-EDDS-HA photo-Fenton system, mediated by UV-C, UV-A and solar light radiation”. O projeto contou com a participação de vários investigadores de diferentes áreas: Nuno Jorge^{1,2}; Ana R. Teixeira²; Joana Sousa²; Márcia Teixeira²; José R. Fernandes³; Marco S. Lucas²; José A. Peres².

¹ Campus da Auga, Campus Universitário de Ourense, Universidad de Vigo, As Lagoas, 32004, Ourense, España, e-mail: njorge@uvigo.es

² Centro de Química de Vila Real (CQVR), Departamento de Química, Universidade de Trás-os-Montes e Alto Douro (UTAD), Quinta de Prados, 5001-801, Vila Real, Portugal

³ Centro de Química de Vila Real (CQVR), Departamento de Física, Universidade de Trás-os-Montes e Alto Douro (UTAD), Quinta de Prados, 5001-801, Vila Real, Portugal

Este projeto foi financiado pelo Projeto INTERACT - Integrative Research in Environment, Agro-Chains and Technology - NORTE-01-0145-FEDER-000017; Projeto INNOVINE & WINE - Innovation Platform of Vine and Wine - NORTE-01-0145-FEDER-000038; Centro de Química de Vila Real (CQVR) through UIDB/00616/2020 and UIDP/00616/2020; FCT project I&D Projecto Exploratório Investigador 2015 - action number IF/00802/2015 gerido por Marco S. Lucas.



Fundação para a Ciência e a Tecnologia
MINISTÉRIO DA CIÉNCIA, INovação e DO Ensino SUPERIOR



MINISTÉRIO DA CIÉNCIA, INovação e DO Ensino SUPERIOR



MINISTÉRIO DA CIÉNCIA, INovação e DO Ensino SUPERIOR



UNIÃO EUROPEIA
Fundo Europeu de Desenvolvimento Regional

I.2 Motivação e Objetivos

Nos últimos anos, foram desenvolvidos vários estudos para a produção de coagulantes naturais sustentáveis e ecológicos como alternativa aos coagulantes inorgânicos e sintéticos para o tratamento de efluentes (Camacho et al. 2017). Nos últimos anos, tem sido muito utilizada a *Moringa oleifera Lam.* na produção de coagulantes orgânicos como alternativa aos coagulantes inorgânicos (Ndabigengesere and Narasiah 1998). (Vunain et al. 2019) descobriu que as sementes de *Moringa oleifera Lam.* podiam ser secas a elevadas temperaturas (105°C), trituradas e consequentemente utilizadas em pó no tratamento de efluentes domésticos. Com base nesta pesquisa, foram produzidos neste trabalho diversos coagulantes orgânicos em pó (COP), utilizando espécies de plantas nunca antes utilizadas no tratamento de efluentes: *Acacia dealbata Link.* (pólen), *Quercus ilex L.* (casca da bolota), *Quercus ilex L.* (bolota descascada), *Platanus x acerifolia (Aiton) Willd.* (sementes) and *Tanacetum vulgare L.* (sementes) (Fig. I. 2).



Fig. I. 1 – (a) *Acacia dealbata Link.*, (b) *Quercus ilex L.*, (c) *Platanus x acerifolia (Aiton) Willd.*, (d) *Tanacetum vulgare L.*

Os efluentes vinícolas são tóxicos para o ambiente, devido à sua elevada carga orgânica, nomeadamente polifenóis e substâncias recalcitrantes muito difíceis de degradar. A biodegradação de compostos recalcitrantes é geralmente lenta e na maior parte das vezes os compostos orgânicos são convertidos em compostos intermediários que se acabam por acumular (Bello et al. 2019). Nos últimos anos, os processos de oxidação avançados (POA) têm sido estudados como uma alternativa de tratamento de efluentes, baseados na geração de radicais hidroxilo (HO^\cdot), os quais possuem uma grande capacidade de oxidação ($E_{\text{HO}^\cdot}^0 = 2.80 \text{ V}$). Após este tratamento, moléculas orgânicas complexas são oxidadas pelos radicais HO^\cdot em moléculas mais pequenas, ou

completamente mineralizadas em dióxido de carbono (CO_2) e água (H_2O) (Wang et al. 2016).

Neste trabalho, foi realizado o processo de foto-Fenton no tratamento de um efluente vinícola, de forma a biodegradar de forma mais rápida e segura os compostos recalcitrantes. O process de POA foi otimizado pela adição de EDDS (Ethylenediamine-N,N'-disuccinic acid) e HA (hydroxylamine hydrochloride) num sistema Fe(II)-EDDS-HA, baseado no estudo realizado por (Han et al. 2014), em que nesse estudo a velocidade das reações de degradação de um composto orgânico (Orange G), foram substâncialmente aumentadas, porque (1) o EDDS impede que o ferro precipite e mantem uma concentração mais elevada em solução, (2) a hidroxilamina é capaz de regenerar o Fe^{3+} em Fe^{2+} aumentando a velocidade de produção de radicais HO^\bullet . Baseado no trabalho de (Moreira et al. 2017; Rodríguez-Chueca et al. 2017) foram também testados diferentes tipos de radiação (UV-C, UV-A, luz solar) de forma a impulsionar a degradação dos compostos orgânicos presentes no efluente vinícola.

Considerando os temas abordados neste capítulo, os objetivos propostos para este Estágio Final de Curso são:

- (1) Estudar a possibilidade de produzir e caracterizar COPs para o tratamento de efluentes;
- (2) Otimizar o efeito dos COPs no processo de coagulação-flocação-decantação;
- (3) Otimizar o processo de coagulação-flocação-decantação através da adição de um polímero sintético (polivinilpirrolidona);
- (4) Avaliar o efeito dos COPs no ambiente em comparação com o sulfato de alumínio.

I.3 Organização do trabalho

Este trabalho resulta de um estudo, em que o tratamento de um efluente vinícola é realizado pela combinação de um processo físico-químico de coagulação-flocação-decantação com um processo de oxidação avançada. O trabalho foi realizado no Centro de Química de Vila Real, no Laboratório de Tecnologias Agroambientais, Universidade de Trás-os-Montes e Alto Douro, nos meses de Março – Maio 2020, e insere-se em um conjunto de trabalhos a realizar para o PhD Auga, Sustentabilidade e Desenvolvimento, Escola Internacional de Doutoramento (Eido), Campus da Auga, Universidade de Vigo, Ourense.

Este trabalho encontra-se estruturado em diferentes capítulos, incluindo a Introdução, Revisão Bibliográfica, Material e Métodos, Resultados e Discussão e finalmente Conclusões e Perspectivas Futuras.

No Capítulo I, é apresentado o trabalho no global, desde a problemática dos efluentes vinícolas até aos tratamentos utilizados no seu tratamento. É dada enfase aos objetivos principais de cada tratamento (coagulação-flocação-decantação e processos de oxidação avançada). Neste capítulo são apresentados também os principais objetivos deste trabalho.

No Capítulo II, é apresentado uma introdução geral relativamente ao efluente vinícola, modo de produção, qual a sua composição geral e principais problemáticas associadas a sua libertação sem tratamento prévio. Neste capítulo é apresentado também uma revisão bibliográfica sobre o tratamento de coagulação-flocação-decantação, as principais conclusões obtidas ao longo dos anos, as questões associadas com este tipo de tratamentos, as vantagens e as limitações.

No capítulo III, é apresentado o Material e Métodos, com uma descrição detalhada das metodologias utilizadas no desenvolvimento deste trabalho, bem como o equipamento e reagentes que permitiram obter os resultados.

No Capítulo IV, encontram-se descritos os Resultados e Discussão dos tratamentos utilizados. Neste trabalho, é realizada uma caracterização inicial dos coagulantes orgânicos em pó. O trabalho é depois dividido de acordo com a otimização efetuada aos coagulantes: efeito do pH vs dosagem do coagulante, efeito das condições de agitação, efeito da adição de um polieletrolito (polivinilpirrolidona, PVPP) e concentração residual de alumínio presente após o tratamento.

Finalmente no Capítulo V, são apresentadas as principais conclusões deste trabalho e propostos novos trabalhos com base nestas pesquisas.

I.4 Lista de publicações

- (1) Jorge, N.; Teixeira, A.R; Sousa, J; **Teixeira, M**; Fernandes, J.R; Lucas M.S; Peres, J.A. “PRODUCTION OF ORGANIC COAGULANTS POWDER FOR WINERY WASTEWATER TREATMENT”, XXVI Encontro Galego-Portugues de Química (A ser submetido em 2021 para comunicação oral, devido à pandemia de Covid - 19);
- (2) Jorge, N.; Teixeira, A.R; Sousa, J; **Teixeira, M**; Fernandes, J.R; Lucas M.S; Peres, J.A. “DEGRADATION OF ORGANIC POLLUTANTS BY FE(II)-EDDS-HA PHOTO-FENTON SYSTEM MEDIATED BY SOLAR RADIATION”, XXVI Encontro Galego-Portugues de Química (A ser submetido em 2021 para comunicação oral, devido à pandemia de Covid - 19).

I.5 Bibliografia

- Bello MM, Raman AAA, Asghar A (2019) A review on approaches for addressing the limitations of Fenton oxidation for recalcitrant wastewater treatment. Process Saf Environ Prot 126:119–140. <https://doi.org/10.1016/j.psep.2019.03.028>
- Camacho FP, Sousa VS, Bergamasco R, Teixeira MR (2017) The use of *Moringa oleifera* as a natural coagulant in surface water treatment. Chem Eng J 313:226–237. <https://doi.org/10.1016/j.cej.2016.12.031>
- Han D, Wan J, Ma Y, et al (2014) Enhanced decolorization of Orange G in a Fe (II)-EDDS activated persulfate process by accelerating the regeneration of ferrous iron with hydroxylamine. Chem Eng J 256:316–323. <https://doi.org/10.1016/j.cej.2014.06.006>
- Moreira SI, Lucas MS, Tavares PB, et al (2017) Disinfection of simulated and real winery wastewater using sulphate radicals: Peroxymonosulphate/ transition metal/ UV-A LED oxidation. J Clean Prod 149:805–817. <https://doi.org/10.1016/j.jclepro.2017.02.135>
- Ndabigengesere A, Narasiah KS (1998) Use of *Moringa Oleifera* Seeds as a Primary Coagulant in Wastewater Treatment. Environ Technol 19:789–800. <https://doi.org/https://doi.org/10.1080/09593331908616735>
- Rodríguez-Chueca J, Amor C, Mota J, et al (2017) Oxidation of winery wastewater by sulphate radicals: catalytic and solar photocatalytic activations. Environ Sci Pollut Res 24:22414–22426. <https://doi.org/10.1007/s11356-017-9896-2>
- Vunain E, Mike P, Mpeketula G, et al (2019) Evaluation of coagulating efficiency and water borne pathogens reduction capacity of *Moringa oleifera* seed powder for treatment of domestic wastewater

from Zomba, Malawi. *J Environ Chem Eng* 7:103118. <https://doi.org/10.1016/j.jece.2019.103118>

Wang N, Zheng T, Zhang G, Wang P (2016) A review on Fenton-like processes for organic wastewater treatment. *J Environ Chem Eng* 4:762–787. <https://doi.org/10.1016/j.jece.2015.12.016>

II. ESTADO DE ARTE

II.1 Efluente vinícola

II.1.1 Origem do efluente vinícola

O efluente vinícola (EV), é o produto residual de muitas operações independentes do processamento de uvas, mosto e vinho e operações de higienização nas adegas (Agustina et al., 2008), o que origina grandes volumes de águas residuais, atingindo valores de 3000 a 5000 L ton⁻¹ de uvas esmagadas (Kumar and Kookana, 2006; Souza et al., 2013). O EV, resulta assim de um conjunto de fatores desde a perda de produto e de várias atividades de limpeza durante a maceração e prensagem das uvas, da lavagem de cubas de fermentação, barricas de madeira e outros equipamentos com características únicas dependendo de cada processo (Souza et al., 2013).

As vindimas realizam-se num período de 6 a 20 semanas, entre finais de agosto até outubro, na qual são desempenhados diversos processos como a colheita, receção, desengace, esmagamento e maceração das uvas e a fermentação do mosto. As operações de maturação, estabilização, clarificação e engarrafamento de vinho realizam-se durante o resto do ano (Agustina et al., 2008).

O EV é caracterizado por grandes alterações sazonais, tanto em qualidade como em quantidade, devido a diferentes fatores, como a época do ano, o tipo de vinho produzido, as técnicas de produção utilizadas e a dimensão da adega.

Durante a fase de vindima, as águas residuais produzidas englobam um conteúdo orgânico considerável e taxas de fluxo elevadas, quando comparadas com os fluxos provenientes dos restantes períodos de vinificação. Assim, os efluentes só são direcionados para as estações de tratamento de águas residuais (ETAR) nesse período, enquanto que no resto do ano isso não acontece. Isto faz com que haja um custo operacional mais elevado nas ETARs, pois na época em que não se realiza a vinificação, o efluente é caracterizado por um baixo teor em carbono, e é necessário manter uma concentração adequada de biomassa nos reatores biológicos. Além disso, estes sistemas tradicionais de tratamento são incapazes de eliminar compostos recalcitrantes de elevado peso molecular (Amaral-Silva et al., 2016).

Em Portugal, o volume de produção e consumo de vinho em 2019, foi de 6.7 e 5.0 mhL, o que representam aumento de 10% em produção e uma diminuição de 2.7% em

relação a 2018. No entanto, tal como se observa na Fig. II.1, desde 2015 que se tem observado um aumento do consumo de vinho em Portugal, chegando-se a atingir valores de produção de vinho em 2019 muito semelhantes a 2015 (OIV, 2019). Isto significa que nos últimos quatro anos a procura tem aumentado, o que leva a uma maior produção de vinho, o que por sua vez leva a um aumento da produção de EV.

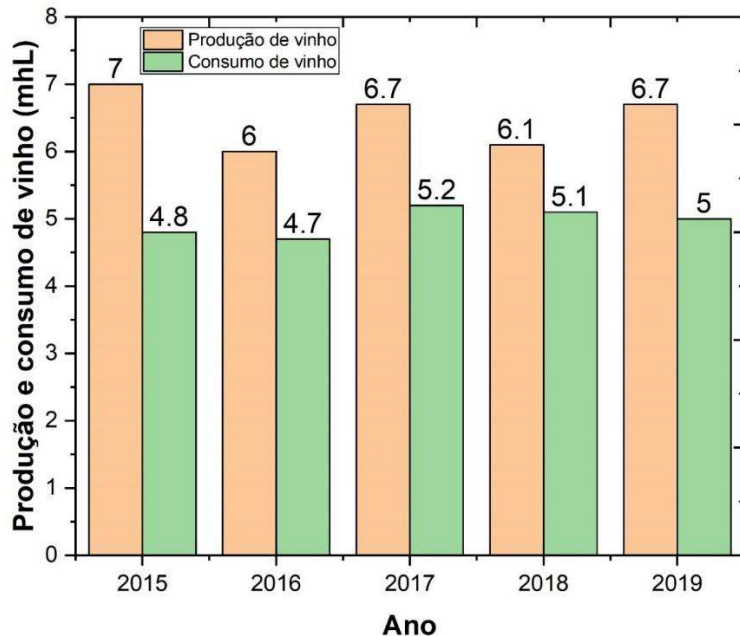


Fig. II. 1- Produção e consumo de vinho em Portugal (OIV, 2019)

II.1.2 Caracterização do efluente vinícola

O EV, em regra geral, tem um pH compreendido entre 3 e 4, uma carência química de oxigénio (CQO) que varia entre os 320 a 296119 mg O₂/L, uma carência bioquímica de oxigénio (CBO₅) que varia entre os 125 a 130000 mg O₂/L (Mosse et al., 2011; Souza et al., 2013), valores muito acima do limite legal estabelecido pelo o Decreto-Lei nº 236/98 de 1 de Agosto (Tabela II.1). Este também contém resíduos sólidos, como caules, películas, sementes, engaço das uvas, entre outras impurezas.

Os principais constituintes orgânicos que constituem o EV são os açúcares solúveis (frutose e glicose), os ácidos orgânicos (tartárico, láctico e acético), os álcoois (glicerol e etanol), os compostos de elevado peso molecular, como os polifenóis, taninos e lenhina (Chapman et al., 2001; Souza et al., 2013), e os compostos fenólicos (ácidos fenólicos e antocianinas) que são considerados os principais compostos antioxidantes das uvas (Masi et al., 2015).

Tabela II. 1- Valores limite de emissão (VLE) na descarga de águas residuais (Decreto-Lei nº 236/98 de 1 de Agosto)

Parâmetros	Expressão dos resultados	VLE
pH	Escala Sorensen	6.0-9.0
Carência Bioquímica de Oxigénio - CBO ₅ , 20 °C	mg O ₂ /L	40
Carência Química de Oxigénio - CQO	mg O ₂ /L	150
Sólidos Suspensos Totais - SST	mg/L	60
Alumínio	mg AL/L	10
Ferro total	mg Fe/L	2.0
Polifenóis totais	mg acido gálico/L	0.5
		10
Fósforo total	mg P/L	3 (em águas que alimentem lagoas ou albufeiras) 0.5 (em lagoas ou albufeiras)
Azoto total	mg N/L	15

II.1.3 Problemas de contaminação associados ao efluente vinícola

A introdução do EV no ambiente sem um tratamento adequado, tem um impacto significativo, provocando poluição da água, degradação dos solos, odores e emissões de carbono na atmosfera. A descarga de EV pode também levar à eutrofização nos recursos hídricos, induzindo à asfixia dos seres vivos aquáticos, pode alterar as propriedades físico-químicas das águas subterrâneas, afetando a cor, o pH e a condutividade elétrica. A acidez elevada do efluente pode reduzir a disponibilidade de nutrientes das plantas e até inibir o crescimento das plantas (Ioannou et al., 2015).

Os compostos fenólicos, também podem representar uma ameaça para o ambiente, se estes forem libertados sem tratamento (Ioannou et al., 2015; Strong and Burgess, 2008), uma vez que alguns desses compostos são tóxicos para humanos, animais e muitos microrganismos, mesmo em baixas concentrações e também são particularmente resistentes à degradação biológica (Ioannou et al., 2015; Nair et al., 2008).

II.1.4 Processos de produção do vinho

Como se pode observar na Fig. II.2, a produção de vinho é muito complexa, dependendo do tipo de vinho a ser produzido, características associadas, volume de produção, entre outras. Neste capítulo é apresentado uma pequena descrição de cada etapa da produção desde a receção das uvas, vinificação, estabilização e engarrafamento.

II.1.4.1 Receção das uvas

As uvas são recebidas na adega como cachos inteiros se colhidas manualmente ou por máquina de vindimar. A vindima por máquina tem a vantagem de recolher várias toneladas de uvas num curto espaço de tempo, no entanto tem várias desvantagens associadas, tais como: a recolha de material que não uvas (caules, folhas, pequenos animais, etc), incapacidade de escolha de uvas sãs de uvas com *Botrytis*, etc (Jacobson, 2006).

II.1.4.2 Desengace e esmagamento

Os cachos são transferidos diretamente para o desengaçador para a remover material que venha junto com as uvas. Nesta fase o engaço é separado das uvas. Esta parte é muito importante para a qualidade dos vinhos (Jacobson, 2006).

II.1.4.3 Maceração

Nesta fase, as uvas são esmagadas (ou prensadas) para libertar o mosto e iniciar o processo de maceração. A maceração facilita a extração de nutrientes, aromas e outros constituintes da polpa, película e sementes. Para os vinhos brancos, a maceração é mantida a um mínimo e raramente dura mais do que algumas horas. O mosto que escorre livremente das uvas esmagadas é, geralmente, combinado com o mosto produzido pela prensagem.

Para vinhos tintos, a maceração é prolongada e ocorre simultaneamente com a fermentação alcoólica. O álcool gerado pela ação das leveduras aumenta a extração de antocianinas e promove a absorção de taninos das sementes e películas (bagaço). Os compostos fenólicos solubilizados dão aos vinhos tintos propriedades básicas como cor, flavour e aroma. Proporcionam também as suas características de envelhecimento e amadurecimento. Além disso, o etanol aumenta a remoção de compostos aromáticos na polpa e nas películas. (Jackson, 2008).

II.1.4.4 Fermentação alcoólica

A fermentação alcoólica, é o processo de transformação anaeróbica dos açúcares, principalmente glicose e frutose, em etanol e dióxido de carbono. Este processo, é realizado por leveduras e também por algumas bactérias como a *Zymomonas mobilis*, e pode ser resumido pela Eq. II.1 (Moreno-Arribas and Polo, 2009):



Eq. II.1

Além do etanol, vários outros compostos são produzidos durante a fermentação alcoólica, como álcoois superiores, ésteres, glicerol, ácido succínico, diacetil, acetoína e 2,3-butanodiol. A principal levedura utilizada na fermentação alcoólica é a *Saccharomyces cerevisiae* que existe na película da uva. Leveduras ativadas secas, nutrientes e vitaminas, também podem ser adicionados neste processo. Para manter o aroma do mosto, o processo de fermentação é realizado a uma temperatura de 15 e 18°C (Cardoso, 2007).

II.1.4.5 Fermentação maloláctica

A fermentação maloláctica (FML), é por definição a conversão enzimática do ácido L-málico em ácido L-láctico, um processo secundário que, geralmente, ocorre posteriormente à fermentação alcoólica do vinho, mas que também podem ocorrer em simultâneo (Kourtis et al., 2001). Esta transformação de ácido málico para ácido láctico não é realmente um processo de fermentação, mas sim uma reação enzimática realizada pelas bactérias do ácido láctico (BAL) após a sua fase de crescimento exponencial. A FML é realizada principalmente pela *Oenococcus oeni*, uma espécie que pode suportar um pH baixo (<3,5), níveis elevados de etanol (>10 vol.%) e elevados níveis de SO₂ (50 mg/L) encontrados no vinho. Espécies mais resistentes como *Lactobacillus*, *Leuconostoc* e *Pediococcus* também se podem desenvolver no vinho e contribuir para o processo, especialmente se o pH do vinho exceder os 3,5 (Davis et al., 1986; Moreno-Arribas and Polo, 2009; Wibowo et al., 1985).

II.1.4.6 Decantação

A decantação é um processo realizado após a fermentação alcoólica e maloláctica dos mostos, em que o líquido é separado das borras por passagem para outra cuba (Cardoso, 2007). Quando o mosto atinge o final da fermentação, torna-se seco e pode ser chamado vinho (a secura é definida quando o mosto atinge o valor de 0,2 g sacarose/100 mL, ou 2 g sacarose/L) (Jacobson, 2006).

II.1.4.7 Maturação

Cada variedade de vinho e cada enólogo estabelece critérios no período de tempo em que um vinho é deixado em barris para amadurecer. A maturação em barris acrescenta

diferentes elementos e componentes de sabor no vinho. Os componentes do sabor podem variar desde "baunilha" a "fumeiro". Os interiores dos barris são carbonizados (também chamado de tosta) a vários graus, desde uma tosta ligeira a uma tosta grande. Os barris são escolhidos pelo perfil do sabor e aroma que um enólogo deseja. Quanto mais tempo um vinho permanece num barril, mais extração de substâncias e mais complexo se torna o perfil de sabor. A maioria dos vinhos premium são vinhos que estagiam em barrica entre 6 meses a 2 anos.

Os barris requerem adições contínuas de vinho para mantê-los cheios (topping), pois este vai sendo continuamente evaporado com o tempo, pois a madeira é porosa. O enchimento de um barril impede a formação de bolsas de ar e reduz o contacto do vinho com o ar, diminuindo a oxidação deste. De meses a meses, durante os primeiros anos, o vinho é retirado dos barris separando-se o resíduo (borras) do vinho, para que possa ser retirado dos barris. No vinho, é então verificado o teor de sulfuroso (SO_2), que garante a proteção contra os microrganismos que deterioram o vinho. O vinho é depois recolocado nos barris para continuar o processo de maturação. A decantação ajuda assim a clarificar gradualmente o vinho (Jacobson, 2006).

II.1.4.8 Clarificação e filtração

Após a fermentação alcoólica, o vinho apresenta uma elevada turbidez, porém durante sua maturação, é clarificado por decantação, centrifugação, colagem ou filtração (Cardoso, 2007). A clarificação dos vinhos promove a remoção das partículas em suspensão no vinho, seguida pela sedimentação gradual das partículas e por fim a decantação de modo a separá-los das borras e reduzir a sua turbidez (Ribéreau-Gayon et al., 2006).

II.1.4.9 Estabilização

A precipitação tartárica ocorre frequentemente nos vinhos engarrafados devido à presença de iões K^+ e Ca^{2+} no pH do vinho. Estes iões reagem com o ácido tartárico formando precipitações de bitartarato de potássio ou tartarato de cálcio no vinho (Moreno-Arribas and Polo, 2009). Este sal é insolúvel a baixas temperaturas, o que provoca a formação de cristais. Para evitar a formação destes cristais no vinho, este é estabilizado a baixas temperaturas (-4°C). Esta prática é sempre realizada antes do engarrafamento, e provoca a formação, precipitação dos cristais, sendo depois eliminados por meio de filtração (Cardoso, 2007).

II.1.4.10. Engarrafamento

O vinho é engarrafado em máquinas especiais que evitam o contacto com o ar, evitando a oxidação e contaminação. O vinho passa por uma série de etapas até ser engarrafado. Primeiro as garrafas devem ser lavadas, uma vez que dentro das garrafas, mesmo em garrafas novas, podem existir vidros, pós ou outros pequenos fragmentos de vidro, resíduos de tratamento superficial, bolores, água condensada e insetos. Apesar de a legislação não ser clara quanto à lavagem obrigatória, os engarrafadores devem evitar esses riscos, tornando-se numa parte importante na fase do engarrafamento (Cardoso, 2007).

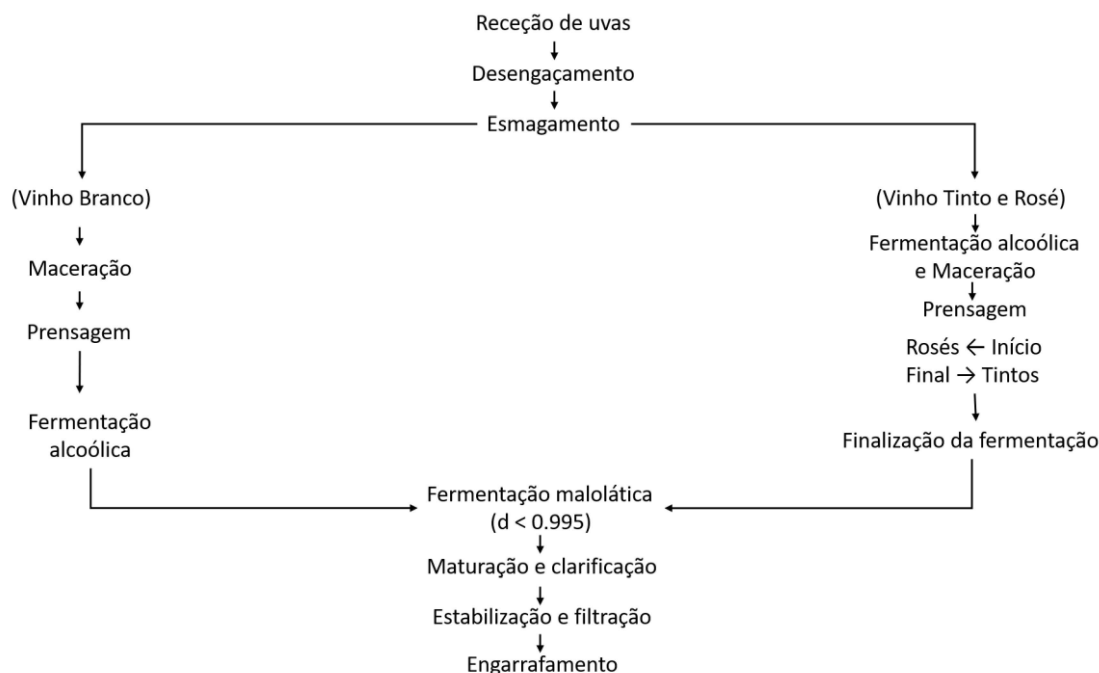


Fig. II. 2 – Processo de produção de vinho (Jackson, 2008).

II.2 Processo de Coagulação-Flocação-Decantação

A coagulação-flocação-decantação é um método simples e eficiente no tratamento de águas residuais, e tem sido amplamente utilizado para o tratamento de vários tipos de águas residuais, tais como efluentes de indústrias de produção de óleo de palma, de indústrias têxteis, industrias de produção de papel, lixiviados de aterros sanitários, entre outros (Ahmad et al., 2005; Lee et al., 2014; Tatsi et al., 2003; Wong et al., 2006; Yue et al., 2008; Zhong et al., 2003).

A coagulação é um processo essencial no tratamento de águas residuais. As partículas coloidais existentes no efluente, em regra geral, têm carga negativa na superfície, o que leva a estabilização das partículas em suspensão. Com a coagulação, as moléculas orgânicas e os coagulantes interagem, alterando as propriedades superficiais das partículas coloidais, provocando assim a destabilização através da neutralização das cargas, uma vez que os coagulantes possuem cargas positivas. Isto, faz com que haja uma ausência de forças repulsivas entre as partículas coloidais, proporcionando a agregação destas e originando flocos que ao crescerem facilitam a separação dos sólidos através de decantação e/ou filtração por gravidade, realizando o processo de flocação (Howe et al., 2012). É importante dizer, que é preciso ter cuidado com a dose que se usa, pois se for em excesso pode criar o efeito inverso, tornando as partículas novamente estáveis em suspensão (Silva, 2016).

II.2.1 Fundamentos do processo

II.2.1.1 Adsorção por neutralização de cargas

A adsorção por neutralização de cargas é o processo mais importante quando são aplicados coagulantes metálicos. Quando adicionamos os coagulantes metálicos, as partículas orgânicas instáveis são destabilizadas. Desta forma, o exterior da partícula coloidal é desestabilizado e colide com outras partículas criando flocos removíveis (Silva, 2016).

II.2.1.2 Precipitação de coagulantes (ou coagulação em flocos)

Os precipitados de hidróxidos metálicos dependem de vários fatores como a quantidade de coagulante adicionado, do pH da solução e da concentração de alguns tipos de coloides na água. Quando o coagulante é adicionado em doses mais elevadas e com

um pH relativamente alto, tende à formação de precipitados de hidróxidos metálicos (Amir et al., 2009; Liu et al., 2012). Neste caso, os precipitados dos flocos tendem a arrastar as partículas através dos coagulantes hidróxido-metálicos à medida que as suspensões vão sedimentando (Silva, 2016; Tzoupanos and Zouboulis, 2008). A coagulação por precipitação é o processo mais utilizado quando existe floculação e sedimentação, devido à maior eficiência a uma maior gama de pH e também devido a uma maior facilidade operacional (Liu et al., 2012; Silva, 2016).

II.2.1.3 Coagulação por adsorção

O processo de coagulação por adsorção é definido como a desestabilização dos coloides em solução por adsorção de longas cadeias de hidróxidos promovidas pelas variações de pH, em condições alcalinas, na superfície da partícula oxidada. No mecanismo de adsorção e neutralização da carga após a adição de coagulante, a hidrólise de iões metálicos ocorre com a posterior adsorção de espécies hidrolisadas, geralmente de carga positiva, na superfície dos coloides, levando a uma desestabilização. A adsorção é causada pela atracão mútua da carga oposta e/ou da força de massa de Van der Waals (Silva, 2016).

II.2.1.4 Ligação entre partículas

Um tipo especial de coagulação por adsorção é chamado de flocação de ligação entre partículas. Na flocação por ligação de partículas, o mecanismo de adsorção e formação de ligações deve-se à adição de polímeros naturais ou sintéticos como coagulantes. Quando o agente coagulante entra em contacto com a partícula coloidal, este adsorve alguns dos grupos reacionais causando desestabilização em ambas as partículas. Por sua vez, as frações livres dos polímeros das partículas anteriormente destabilizadas são adsorvidas na superfície de outras partículas, promovendo a sua agregação (Silva, 2016).

II.2.2 Tipos de coagulantes:

II.2.2.1 Coagulantes metálicos

Os coagulantes metálicos mais usais são à base de sais de alumínio e ferro, sendo caracterizados como sulfato de alumínio, sulfato ferroso, sulfato férrico, cloreto férrico (Tatsi et al., 2003), embora a cal alcalina (CaO), bem como a cal hidratada sejam também utilizadas como coagulantes (Chauhan and Dikshit, 2012; Santo et al., 2012), que

adicionalmente são empregues para promover e manter a alcalinidade, melhorando assim o processo (Ismail et al., 2012; Silva, 2016).

Quando os coagulantes metálicos são adicionados à água, os iões metálicos sofrem uma hidrolise rápida, desenvolvendo uma série de espécies de metais (Labanowski et al., 2010). Estas espécies dependem principalmente do pH, da concentração do coagulante (Aygun and Yilmaz, 2010) e da velocidade de mistura. No entanto, os coagulantes de alumínio e ferro podem ser utilizados para formar coagulantes poliméricos inorgânicos. Estes coagulantes são gerados por soluções concentradas, parcialmente neutralizadas de alumínio ou ferro com uma base como o hidróxido de sódio, antes da sua utilização no processo de coagulação (Silva, 2016).

II.2.2.2 Polímeros

Os polímeros são compostos orgânicos, sintéticos ou naturais, que podem atingir dimensões de grande amplitude, compostos de cadeias de grupos designados por "monómeros", frequentemente mais pequenos e que podem ser utilizados em combinação com outros coagulantes tais como alumínio ou cloreto férreo para fins de otimização de remoção de sólidos. Devido às suas grandes dimensões e características de carga, os polímeros podem promover a desestabilização através de pontes, neutralização de carga, ou ambos (Brostow et al., 2009).

Os polímeros orgânicos frequentemente utilizados no tratamento de águas residuais são catiónicos (carga positiva), aniónicos (carga negativa), ou não iónicos (carga neutra), e são categorizados em dois grupos principais: floculantes de poliacrilamidas de peso molecular muito elevado (PAMs) com diferentes grupos ativos, que podem ser aniónicos, catiónicos ou não iónicos, ou floculantes catiónicos de baixo a médio peso molecular baseados em (non-)dimetilamina quaternizada (poliaminas) e cloreto de dialildimetilâmônio (DADMACs) (Tripathy and De, 2006).

II.2.2.3 Coagulantes orgânicos

Os coagulantes formados a partir de plantas têm a capacidade de flocular partículas coloidais e reduzir a turbidez, a CQO e a cor das águas residuais. Vários exemplos incluem *Moringa oleifera Lam.*, *Dactylis glomerata L.*, *Festuca ampla Hack.*, *Daucus carota L.*, *Vitis vinifera L.*, *Platanus x acerifolia (Aiton) Willd*, *Quercus ilex L.*, *Acacia dealbata Link* e *Tanacetum vulgare L.* (Fig. II.3).



Moringa oleifera Lam.



Dactylis glomerata L.



Daucus carota L.,



Vitis vinifera L.,



Quercus ilex L.



Acacia dealbata Link



Festuca ampla Hack.,



Platanus x acerifolia (Aiton) Willd



Tanacetum vulgare L.

Fig. II. 3 – Representação gráfica das plantas que podem ser utilizadas como coagulantes orgânicos.

A fim de compreender melhor estes tipos de plantas, foi apresentado neste capítulo um pequeno resumo da morfologia de algumas plantas e alguns aspectos importantes relacionados com os seus constituintes.

A *Moringa oleifera Lam.*, pertence à família Moringaceae, e é uma planta de crescimento rápido e amplamente disponível nos trópicos e subtrópicos com grande importância económica para a indústria alimentar e médica (Becker and Makkar, 1999). As sementes são ricas em óleo e proteínas e também podem ser utilizadas para a purificação da água. As raízes são abundantes em especiarias. As folhas são ricas em carotenoides, ácido ascórbico e ferro (Richter et al., 2003).

A erva-de-combos (*Dactylis glomerata L.*) é um membro importante da família Poaceae. A sua cultivação tem sido importante para a produção de forragem e de feno há mais de cem anos (Casler et al., 2000). A erva-de-combos varia amplamente nas características taxonómicas, que permite a sua distinção dentro da família Poaceae (Catalán et al., 2004). A erva-de-combos inclui espécies diploides ($2n = 14$) e tetraploides ($2n = 28$) (Lumaret and Barrientos, 1990). Estas variedades de poliploides têm sido amplamente utilizadas em pastagens devido à sua boa nutrição, elevado rendimento, e boa tolerância à sombra; assim, desempenham um papel importante na criação de animais (Zeng et al., 2014).

O género *Daucus*, pertence à família Apiaceae (Umbelliferae), abrange cerca de 60 espécies anuais e bienais, distribuídas na sua maioria nas regiões temperadas do norte do planeta. Os frutos da *Daucus carota L.* (cenoura selvagem), popularmente conhecidos como "nanheshi" na China, uma medicina tradicional chinesa, têm sido utilizados para o tratamento de anquilostomíase, hidropisia, doenças renais crónicas e infecções da bexiga (Fu et al., 2010), devido a uma vasta gama de efeitos farmacológicos, incluindo atividades antibacterianas (Rossi et al., 2007), antifúngicas (Tavares et al., 2008), anti-helmínticos, hepatoprotetoras (Bishayee et al., 1995) e citotóxicas (Yang et al., 2008). Em Portugal continental existem cinco subespécies de *Daucus carota*: *Daucus carota L. subsp. carota*, *Daucus carota subsp. sativus* (Hoffm.) Schubl. & G. Martens, *Daucus carota subsp. gummifer* (Syme) Hook. Fil, *Daucus carota subsp. maximus* (Desf.) Ball e *Daucus carota subsp. halophilus* (Brot.) A. Pujadas (Tavares et al., 2008).

A planta *Tanacetum vulgare* (tansy) é uma erva perene e é conhecida como Atanásia, Atanásia-das-boticas, Erva-de-São-Marcos, Erva-dos-vermes, Joina-das-searas, Tanaceto e Tanásia. Por volta de 1525, foi listada (pela editora "Tansey") como

"necessária para um jardim" na Grã-Bretanha. Tansy era considerado uma cura para os parasitas intestinais, reumatismo, problemas digestivos, febres, feridas, sarampo e menos frequente utilizado para tratar irregularidades menstruais e induzir menstruação (Dubey et al., 2010; Le Strange, 1977). Durante a Idade Média e mais tarde, foram utilizadas doses elevadas desta planta para induzir abortos (Kingsbury, 1964). Contraditoriamente, esta planta era também utilizada para ajudar as mulheres a conceber e para prevenir abortos espontâneos (Le Strange, 1977). O principal constituinte químico da planta é o óleo volátil ou óleo de tansy. Além disso, um composto amargo e amorfo, a tanacetina ($C_{11}H_{16}O_4$), está presente principalmente nas flores (Dubey et al., 2010). Para além da tanacetina, a flor pode conter vários monoterpenóides (Gabel et al., 1992). O teor de óleo essencial das flores tansy é cerca do dobro do das folhas (Dobos et al., 1990). A planta também contém os seguintes constituintes: tanacetina, ácido tânico, vestígios de ácido gálico, óleo volátil, uma substância semelhante à cera, albuminoides, ácidos tartárico, cítrico e málico, vestígios de ácido oxálico, açúcar levogyre, resina, ácido metarábico, parabina, e fibra lenhosa (Dubey et al., 2010).

A leguminosa *Acacia dealbata* Link é uma planta nativa da Austrália que se tornou uma espécie invasora na Europa. A propagação mundial da *A. dealbata* aumentou mais de 60% na última década (Casas et al., 2020). As suas flores exercem um papel fundamental na capacidade de colonização, levando à escassez de espécies pouco desenvolvidas, devido à interferência alopática causada pelo crescimento de flores e pela decomposição no solo, que mantém a toxicidade dos percolados do solo durante muito tempo (Carballeira and Reigosa, 1999; Souza-Alonso et al., 2014). Os extratos de flores da *A. dealbata* podem ser utilizados em perfumes, mas a utilização destes extratos como corantes ou agentes bioativos ainda está em desenvolvimento. A gestão de resíduos florais pode incluir bioconversão em produtos de valor acrescentado papel, composto, biogás para produção de eletricidade, produtos alimentares, como nutrientes e aditivos, bioadsorventes, etc. (Waghmode et al., 2018).

II.2.3 Aplicação do processo de coagulação-flocação-decantação no tratamento de efluentes

Na Tabela II.2, são observados alguns exemplos de estudos realizados no tratamento de águas residuais industriais, que apresentam as condições operacionais e as eficiências alcançadas.

Num estudo realizado por (Ndabigengesere and Narasiah, 1998) foi produzida uma solução, utilizando água da torneira para extrair os componentes orgânicos de sementes de *Moringa oleifera* com casca e sem casca. Obteve-se uma redução da turbidez de 105 para 10 NTU (90%), semelhante aos resultados conseguidos após a coagulação-flocação-decantação com sulfato de alumínio.

Os coagulantes orgânicos também foram utilizados para o tratamento de efluente de azeite (EA) e efluente vinícola (EV) como observado num estudo realizado por (Rizzo et al., 2010a). Neste estudo, foram adicionados 400 mg L^{-1} de solução de quitosana para o efluente de azeite e 20 mg L^{-1} para o efluente vinícola. A eficiência de remoção do coagulante quitosana foi considerada elevada em termos de remoção de sólidos suspensos totais (81% e 80% para EA e EV respetivamente) e de turbidez (94% e 92% para EA e EV respetivamente) para ambas as águas residuais. Porém foi observada uma diferença notável em relação à remoção matéria orgânica para os diferentes efluentes (32% e 73% em termos de CQO para EA e EV respetivamente).

Tabela II. 2 – Aplicação do processo de coagulação-flocação com coagulantes orgânicos no tratamento de águas residuais.

Tipo de efluente	Coagulantes Orgânicos	Condições operacionais	Resultados	Referências
Água da torneira do laboratório	Sementes de <i>Moringa oleifera</i> (MO)	$[\text{MO}] = 50 \text{ mg L}^{-1}$ $\text{pH} = 6,4$	Remoção de turbidez = 90% $\text{CE} = 150 \mu \text{mho cm}^{-1}$ $V_{\text{borra}} = 1,5 \text{ mL L}^{-1}$	(Ndabigengesere and Narasiah, 1998)
Águas superficiais	Óleo de sementes de <i>Moringa oleifera</i> (MO)	$[\text{MO}] = 50 \text{ mg L}^{-1}$ Sedimentação = 120 min	Remoção de turbidez = 89% Remoção de Chlorophyll= 90%	(Camacho et al., 2017)
Azul de Metileno (AM) e verde de malaquita (VM)	<i>Daucus carota</i> (DC)	$\text{pH} = 7,0$ temperatura: 303 K Sedimentação: 30 min	Remoção de AM = 87% Remoção de VM = 75%	(Kushwaha et al., 2014)
Solução aquosa de Mn(II), Co(II), Ni(II) e Cu(II)	<i>Daucus carota</i>	$[\text{DC}] = 400 \text{ mg L}^{-1}$ $\text{pH} = 5,25$	Remoção de metais pesados >70%	(Güzel et al., 2008)

Efluente de azeite (EA)	[Quitosana] = 400 mg L ⁻¹ pH 4,4	Remoção de turbidez = 94% Remoção SST = 81%
Quitosana Efluente vinícola (EV)	[Quitosana] = 20 mg L ⁻¹ pH 4,0	Remoção de turbidez = 80% Remoção de SST = 94% Remoção de CQO = 73% (Rizzo et al., 2010b)

II.2.4 Benefícios e limitações do método

O tratamento por coagulação-flocação-decantação é dos processos mais aplicados na depuração de águas residuais. No entanto estes têm algumas vantagens e limitações.

As vantagens deste processo baseiam-se no facto de ser um tratamento simples, envolvendo um procedimento bem conhecido, possui determinadas características que são adequados para determinados tratamentos, incluindo água potável e águas residuais, com equipamento e sistemas de controlo bem desenvolvidos. Tudo isto torna a sua implementação muito mais fácil nos mais diversos setores (Moghaddam et al., 2010; Silva, 2016). Além disso, através da agregação de determinadas partículas, a coagulação favorece a sedimentação de partículas com maiores dimensões favorecendo o tratamento primário. É importante salientar que a eficácia do tratamento primário permite reduzir sólidos em suspensão, carga orgânica (Aygun and Yilmaz, 2010), e também alguns metais perigosos como o crómio (Lofrano et al., 2018).

A utilização de grandes quantidades de resíduos químicos, é contudo, uma desvantagem inerente a este processo, dado que dependem do tipo de coagulante, bem como das condições de operação (Ginos et al., 2006; Kestioğlu et al., 2005; Tatsi et al., 2003). Salienta-se que, na criação deste tipo de resíduos, o transporte e produção origina impactos ambientais. (Howe et al., 2012)

Atualmente, aplicação de coagulantes inorgânicos nas águas residuais é bastante limitada e tem sido reduzida devido a numerosas desvantagens. Tal como observado em muitos estudos, a sua utilização pode ter consequências ambientais na produção de grandes volumes de borras de hidróxido de metal (tóxico) que criam problemas de eliminação, e um aumento da concentração de metais (por exemplo, alumínio) na água tratada, que pode ter implicações na saúde humana (Flaten, 2001; Ward et al., 2006). Estudos epidemiológicos, neuropatológicos e bioquímicos recentes sugerem uma

possível ligação entre a neurotoxicidade do alumínio e a patogénesis da doença de Alzheimer (Banks et al., 2006; Polizzi et al., 2002).

Outros inconvenientes incluem a necessidade de grandes quantidades para obter uma floculação eficiente, são altamente sensíveis ao pH, têm uma ineficiente ação em relação a partículas muito finas, baixa atuação em água fria (por exemplo, cloreto de polialumínio) e aplicável apenas em alguns sistemas dispersos (Bratby, 2018; Sharma et al., 2006). A fim de minimizar os inconvenientes dos coagulantes inorgânicos, muitos fatores foram tidos em consideração para encontrar alternativas e reduzir a dosagem dos coagulantes inorgânicos nocivos (Lee et al., 2014).

Para resolver este problema foram desenvolvidos muitos tipos de reagentes naturais para a remoção de poluentes das águas residuais, estes possuem vantagens pois são biodegradáveis e não são um risco para a saúde pública, pelo que são utilizadas várias fontes vegetais, animais ou microrganismos no tratamento de águas residuais (Dkhissi et al., 2018). Em contraste, os coagulantes biopoliméricos e floculantes como a quitosana, alginato e celulose possuem vantagens sobre os sistemas convencionais de polímeros sintéticos/sais inorgânicos. Por exemplo, maior eficiência na remoção de contaminantes, grande formação de flocos com alta densidade, alta resistência mecânica, e propriedades favoráveis de sedimentação (Agbovi et al., 2017) sobre uma vasta gama de pH que produz menos borra sem resíduos metálicos (ferro e/ou alumínio), mesmo em condições alcalinas. Os biopolímeros são relativamente rentáveis, biodegradáveis, biocompatíveis, e podem ser concebidos com desempenho sintonizável com menos formação de poluentes secundários (Agbovi and Wilson, 2018; Sharma et al., 2006).

A utilização de coagulantes orgânicos naturais (CON) não tem nenhum efeito tóxico sobre os corpos de água; além disso, as lamas orgânicas produzidas a partir do processo de coagulação-flocação-decantação podem ser reutilizadas, poupando assim dinheiro para a eliminação destas. Os CON têm sido aplicados com sucesso nos últimos anos no tratamento de água e águas residuais. Os CON podem ser classificados de acordo com a fonte natural de onde são extraídos: sementes de plantas, plantas e animais (Rizzo et al., 2010).

II.3. Bibliografia

- Agbovi, H.K., Wilson, L.D., 2018. Design of amphoteric chitosan flocculants for phosphate and turbidity removal in wastewater. *Carbohydr. Polym.* 189, 360–370.
<https://doi.org/10.1016/j.carbpol.2018.02.024>
- Agbovi, H.K., Wilson, L.D., Tabil, L.G., 2017. Biopolymer flocculants and oat hull biomass to aid the removal of orthophosphate in wastewater treatment. *Ind. Eng. Chem. Res.* 56, 37–46.
<https://doi.org/10.1021/acs.iecr.6b04092>
- Agustina, T.E., Ang, H.M., Pareek, V.K., 2008. Treatment of winery wastewater using a photocatalytic/photolytic reactor. *Chem. Eng. J.* 135, 151–156.
<https://doi.org/10.1016/j.cej.2007.07.063>
- Ahmad, A.L., Ismail, S., Bhatia, S., 2005. Optimization of coagulation– flocculation process for palm oil mill effluent using response surface methodology. *Environ. Sci. Technol.* 39, 2828–2834.
<https://doi.org/10.1021/es0498080>
- Amaral-Silva, N., Martins, R.C., Paiva, C., Castro-Silva, S., Quinta-Ferreira, R.M., 2016. A new winery wastewater treatment approach during vintage periods integrating ferric coagulation, Fenton reaction and activated sludge. *J. Environ. Chem. Eng.* 4, 2207–2215.
<https://doi.org/10.1016/j.jece.2016.03.044>
- Amir, T., Ismail, N., Alkarkhi, A.F., Teng, T.T., 2009. Optimization of coagulation process for landfill leachate pre-treatment using response surface methodology (RSM). *J Sust Dev.* 2, 159–167.
- Aygun, A., Yilmaz, T., 2010. Improvement of coagulation-flocculation process for treatment of detergent wastewaters using coagulant aids. *Int. J.* 1, 97–101.
- Banks, W.A., Niehoff, M.L., Drago, D., Zatta, P., 2006. Aluminum complexing enhances amyloid β protein penetration of blood–brain barrier. *Brain Res.* 1116, 215–221.
<https://doi.org/10.1016/j.brainres.2006.07.112>
- Becker, K., Makkar, H.P.S., 1999. Effects of dietary tannic acid and quebracho tannin on growth performance and metabolic rates of common carp (*Cyprinus carpio* L.). *Aquaculture* 175, 327–335.
[https://doi.org/10.1016/S0044-8486\(99\)00106-4](https://doi.org/10.1016/S0044-8486(99)00106-4)
- Bishayee, A., Sarkar, A., Chatterjee, M., 1995. Hepatoprotective activity of carrot (*Daucus carota* L.) against carbon tetrachloride intoxication in mouse liver. *J. Ethnopharmacol.* 47, 69–74.
[https://doi.org/10.1016/0378-8741\(95\)01254-B](https://doi.org/10.1016/0378-8741(95)01254-B)
- Bratby, J., 2018. Coagulation and flocculation in water and wastewater treatment. IWA publishing.
- Brostow, W., Lobland, H.H., Pal, S., Singh, R.P., 2009. Polymeric flocculants for wastewater and industrial effluent treatment. *J. Mater. Educ.* 31, 157–166.
- Camacho, F.P., Sousa, V.S., Bergamasco, R., Teixeira, M.R., 2017. The use of *Moringa oleifera* as a natural coagulant in surface water treatment. *Chem. Eng. J.* 313, 226–237.
<https://doi.org/10.1016/j.cej.2016.12.031>
- Carballeira, A., Reigosa, M.J., 1999. Effects of natural leachates of *Acacia dealbata* Link in Galicia (NW Spain). *Bot. Bull. Acad. Sin.* 40, 87–92.
- Cardoso, A.D., 2007. O vinho - da uva à garrafa, Segunda. ed. Agrobook, Barcelos.

- Casas, M.P., Conde, E., Ribeiro, D., Fernandes, E., Domínguez, H., Torres, M.D., 2020. Bioactive properties of *Acacia dealbata* flowers extracts. *Waste and Biomass Valorization* 11, 1–9. <https://doi.org/10.1007/s12649-019-00639-4>
- Casler, M.D., Fales, S.L., McElroy, A.R., Hall, M.H., Hoffman, L.D., Leath, K.T., 2000. Genetic progress from 40 years of orchardgrass breeding in North America measured under hay management. *Crop Sci.* 40, 1019–1025. <https://doi.org/10.4141/P01-032>
- Catalán, P., Torrecilla, P., Rodríguez, J.A.L., Olmstead, R.G., 2004. Phylogeny of the festucoid grasses of subtribe *Loliinae* and allies (Poeae, Pooideae) inferred from ITS and trnL-F sequences. *Mol. Phylogenetic Evol.* 31, 517–541. <https://doi.org/10.1016/j.ympev.2003.08.025>
- Chapman, J., Baker, P., Wills, S., 2001. *Winery Wastewater Handbook: Production, Impacts and Management*, Winetitles. ed.
- Chauhan, M.S., Dikshit, A.K., 2012. Decolorization of anaerobically digested molasses spentwash by coagulation. *Am. J. Environ. Eng.* 2, 12–18. <https://doi.org/10.5923/j.ajee.20120201.03>
- Davis, C.R., Wibowo, D.J., Lee, T.H., Fleet, G.H., 1986. Growth and metabolism of lactic acid bacteria during and after malolactic fermentation of wines at different pH. *Appl. Environ. Microbiol.* 51, 539–545.
- Dkhissi, O., El Hakmaoui, A., Souabi, S., Chatoui, M., Jada, A., Akssira, M., 2018. Treatment of vegetable oil refinery wastewater by coagulation-flocculation process using the cactus as a bio-flocculant. *J. Mater. Environ. Sci.* 9, 18–25. <https://doi.org/10.26872/jmes.2018.9.1.3>
- Dobos, J., Földesi, D., Zámbori-Németh, É., 1990. EXPERIMENTS FOR DETERMINATION THE OPTIMUM HARVESTING TIME OF *TANACETUM VULGARE* L. *Int. Symp. Med. Aromat. Plants, XXIII IHC* 306 319–323. <https://doi.org/10.17660/ActaHortic.1992.306.40>
- Dubey, S.P., Lahtinen, M., Sillanpää, M., 2010. Tansy fruit mediated greener synthesis of silver and gold nanoparticles. *Process Biochem.* 45, 1065–1071. <https://doi.org/10.1016/j.procbio.2010.03.024>
- Flaten, T.P., 2001. Aluminium as a risk factor in Alzheimer's disease, with emphasis on drinking water. *Brain Res. Bull.* 55, 187–196. [https://doi.org/10.1016/S0361-9230\(01\)00459-2](https://doi.org/10.1016/S0361-9230(01)00459-2)
- Fu, H.W., Zhang, L., Yi, T., Feng, Y.L., Tian, J.K., 2010. Guaiane type sesquiterpenes and other constituents from *Daucus carota* L. *Biochem. Syst. Ecol.* 38, 309–312. <https://doi.org/10.1016/j.bse.2009.12.017>
- Gabel, B., Thiéry, D., Suchy, V., Marion-Poll, F., Hradsky, P., Farkas, P., 1992. Floral volatiles of *Tanacetum vulgare* L. attractive to *Lobesia botrana* den. et schiff. females. *J. Chem. Ecol.* 18, 693–701. <https://doi.org/10.1007/BF00994607>
- Ginos, A., Manios, T., Mantzavinos, D., 2006. Treatment of olive mill effluents by coagulation–flocculation–hydrogen peroxide oxidation and effect on phytotoxicity. *J. Hazard. Mater.* 133, 135–142. <https://doi.org/10.1016/j.jhazmat.2005.10.024>
- Güzel, F., Yakut, H., Topal, G., 2008. Determination of kinetic and equilibrium parameters of the batch adsorption of Mn (II), Co (II), Ni (II) and Cu (II) from aqueous solution by black carrot (*Daucus carota* L.) residues. *J. Hazard. Mater.* 153, 1275–1287. <https://doi.org/10.1016/j.jhazmat.2007.09.087>
- Howe, K.J., Hand, D.W., Crittenden, J.C., Trussell, R.R., Tchobanoglou, G., 2012. Principles of water

- treatment, John Wiley. ed.
- Ioannou, A., L., Puma, L., G., Fatta-Kassinos, D., 2015. Treatment of winery wastewater by physicochemical, biological and advanced processes: A review. *J. Hazard. Mater.* 286, 343–368. <https://doi.org/10.1016/j.jhazmat.2014.12.043>
- Ismail, I.M., Fawzy, A.S., Abdel-Monem, N.M., Mahmoud, M.H., El-Halwany, M.A., 2012. Combined coagulation flocculation pre treatment unit for municipal wastewater. *J. Adv. Res.* 3, 331–336. <https://doi.org/10.1016/j.jare.2011.10.004>
- Jackson, R.S., 2008. Wine Science. Principles and Applications, Terceira. ed. Elsevier Inc., San Diego, California, USA.
- Jacobson, J.L., 2006. Introduction to Wine Laboratory Practices and Procedures. Springer Science+Business Media, Inc., USA.
- Kestioğlu, K., Yonar, T., Azbar, N., 2005. Feasibility of physico-chemical treatment and advanced oxidation processes (AOPs) as a means of pretreatment of olive mill effluent (OME). *Process Biochem.* 40, 2409–2416. <https://doi.org/10.1016/j.procbio.2004.09.015>
- Kingsbury, J.M., 1964. Poisonous Plants of the United States and Canada, Terceira. ed. Prentice Hall, New Jersey.
- Kourtis, L.K., Arvanitoyannis, I.S., Ph, D., 2001. Implementation of hazard analysis critical control point (HACCP) system to the alcoholic beverages industry. *Food Rev. Int.* 17, 1–44. <https://doi.org/10.1081/FRI-100000514>
- Kumar, A., Kookana, R., 2006. Impact of winery wastewater on ecosystem health – an introductory assessment. *Grape Wine Res. Dev. Corp.*
- Kushwaha, A.K., Gupta, N., Chattopadhyaya, M.C., 2014. Removal of cationic methylene blue and malachite green dyes from aqueous solution by waste materials of *Daucus carota*. *J. Saudi Chem. Soc.* 18, 200–207. <https://doi.org/10.1016/j.jscs.2011.06.011>
- Labanowski, J., Pallier, V., Feuillade-Cathalifaud, G., 2010. Study of organic matter during coagulation and electrocoagulation processes: Application to a stabilized landfill leachate. *J. Hazard. Mater.* 179, 166–172. <https://doi.org/10.1016/j.jhazmat.2010.02.074>
- Le Strange, R., 1977. A history of herbal plants, Primeira. ed. Angus & Robertson, London.
- Lee, C.S., Robinson, J., Chong, M.F., 2014. A review on application of flocculants in wastewater treatment. *Process Saf. Environ. Prot.* 92, 489–508. <https://doi.org/10.1016/j.psep.2014.04.010>
- Liu, X., Li, X.M., Yang, Q., Yue, X., Shen, T.T., Zheng, W., Luo, K., Sun, Y.H., Zeng, G.M., 2012. Landfill leachate pretreatment by coagulation–flocculation process using iron-based coagulants: optimization by response surface methodology. *Chem. Eng. J.* 200, 39–51. <https://doi.org/10.1016/j.cej.2012.06.012>
- Lofrano, G., Belgiorno, V., Gallo, M., Raimo, A., Meric, S., 2018. Toxicity reduction in leather tanning wastewater by improved coagulation flocculation process. *Glob. NEST JournalGlobal NEST Int. J.* 8, 151–158. <https://doi.org/10.30955/gnj.000386>
- Lumaret, R., Barrientos, E., 1990. Phylogenetic relationships and gene flow between sympatric diploid and tetraploid plants of *Dactylis glomerata* (Gramineae). *Plant Syst. Evol.* 169, 81–96. <https://doi.org/10.1007/BF00935987>

- Masi, F., Rochereau, J., Troesch, S., Ruiz, I., Soto, M., 2015. Wineries wastewater treatment by constructed wetlands: a review. *Water Sci. Technol.* 71, 1113–1127. <https://doi.org/10.2166/wst.2015.061>
- Moghaddam, S.S., Moghaddam, M.A., Arami, M., 2010. Coagulation/flocculation process for dye removal using sludge from water treatment plant: optimization through response surface methodology. *J. Hazard. Mater.* 175, 651–657. <https://doi.org/10.1016/j.jhazmat.2009.10.058>
- Moreno-Arribas, M.V., Polo, M.C., 2009. Wine Chemistry and Biochemistry. Springer Science+Business Media, LLC, New York, USA. <https://doi.org/10.1007/978-0-387-74118-5>
- Mosse, K., Patti, A., Christen, E., Cavagnaro, T., 2011. Review: winery wastewater quality and treatment options in Australia. *Aust. J. Grape Wine Res.* 17, 111–112.
- Nair, C.I., Jayachandran, K., S. Shashidhar, 2008. Biodegradation of phenol. *Afr. J. Biotechnol* 7, 4951–4958.
- Ndabigengesere, A., Narasiah, K.S., 1998. Use of *Moringa oleifera* seeds as a primary coagulant in wastewater treatment. *Environ. Technol.* 19, 789–800. <https://doi.org/https://doi.org/10.1080/09593331908616735>
- OIV, I.O. of V. and W., 2019. STATE OF THE VITIVINICULTURE WORLD MARKET - State of the sector in 2018.
- Polizzi, S., Pira, E., Ferrara, M., Bugiani, M., Papaleo, A., Albera, R., Palmi, S., 2002. Neurotoxic effects of aluminium among foundry workers and Alzheimer's disease. *Neurotoxicology* 23, 761–774. [https://doi.org/10.1016/S0161-813X\(02\)00097-9](https://doi.org/10.1016/S0161-813X(02)00097-9)
- Ribéreau-Gayon, P., Dubourdieu, D., Donèche, B., Lonvaud, A., 2006. Handbook of enology, Volume 1: The microbiology of wine and vinifications (Vol. 1), Segunda. ed. John Wiley & Sons, França.
- Richter, N., Siddhuraju, P., Becker, K., 2003. Evaluation of nutritional quality of moringa (*Moringa oleifera* Lam.) leaves as an alternative protein source for Nile tilapia (*Oreochromis niloticus* L.). *Aquaculture* 217, 599–611. [https://doi.org/10.1016/S0044-8486\(02\)00497-0](https://doi.org/10.1016/S0044-8486(02)00497-0)
- Rizzo, L., Lofrano, G., Belgiorno, V., 2010a. Olive mill and winery wastewaters pre-treatment by coagulation with chitosan. *Sep. Sci. Technol.* 45, 2447–2452. <https://doi.org/10.1080/01496395.2010.487845>
- Rizzo, L., Lofrano, G., Belgiorno, V., 2010b. Olive mill and winery wastewaters pre-treatment by coagulation with chitosan. *Sep. Sci. Technol.* 45, 2447–2452. <https://doi.org/10.1080/01496395.2010.487845>
- Rossi, P.G., Bao, L., Luciani, A., Panighi, J., Desjobert, J.M., Costa, J., Casanova, J., Bolla, J.M., Berti, L., 2007. (E)-Methylisoeugenol and elemicin: antibacterial components of *Daucus carota* L. essential oil against *Campylobacter jejuni*. *J. Agric. Food Chem.* 55, 7332–7336. <https://doi.org/10.1021/jf070674u>
- Santo, C.E., Vilar, V.J., Botelho, C.M., Bhatnagar, A., Kumar, E., Boaventura, R.A., 2012. Optimization of coagulation–flocculation and flotation parameters for the treatment of a petroleum refinery effluent from a Portuguese plant. *Chem. Eng. J.* 183, 117–123. <https://doi.org/10.1016/j.cej.2011.12.041>
- Sharma, B.R., Dhuldhoya, N.C., Merchant, U.C., 2006. Flocculants—an ecofriendly approach. *J. Polym. Environ.* 14, 195–202. <https://doi.org/10.1007/s10924-006-0011-x>
- Silva, N.A.A.M., 2016. Integration Strategies for Wastewater Treatment: Advanced Oxidation Processes

and Conventional Technologies.

- Souza-Alonso, P., González, L., Cavaleiro, C., 2014. Ambient has become strained. Identification of *Acacia dealbata* Link volatiles interfering with germination and early growth of native species. *J. Chem. Ecol.* 40, 1051–1061. <https://doi.org/10.1007/s10886-014-0498-x>
- Souza, B.S., Moreira, F.C., Dezotti, M.W., Vilar, V.J., Boaventura, R.A., 2013. Application of biological oxidation and solar driven advanced oxidation processes to remediation of winery wastewater. *Catal. Today* 209, 201–208. <https://doi.org/10.1016/j.cattod.2012.08.037>
- Strong, P.J., Burgess, J.E., 2008. Treatment methods for wine-related and distillery wastewaters: a review. *Biorem. J.* 12, 70–87.
- Tatsi, A.A., Zouboulis, A.I., Matis, K.A., Samaras, P., 2003. Coagulation–flocculation pretreatment of sanitary landfill leachates. *Chemosphere* 53, 737–744. [https://doi.org/10.1016/S0045-6535\(03\)00513-7](https://doi.org/10.1016/S0045-6535(03)00513-7)
- Tavares, A.C., Gonçalves, M.J., Cavaleiro, C., Cruz, M.T., Lopes, M.C., Canhoto, J., Salgueiro, L.R., 2008. Essential oil of *Daucus carota* subsp. *halophilus*: composition, antifungal activity and cytotoxicity. *J. Ethnopharmacol.* 119, 129–134. <https://doi.org/10.1016/j.jep.2008.06.012>
- Tripathy, T., De, B.R., 2006. Flocculation: a new way to treat the waste water. *J. Phys. Sci.* 10, 93–127.
- Tzoupanos, N.D., Zouboulis, A.I., 2008. Coagulation-flocculation processes in water/wastewater treatment: the application of new generation of chemical reagents. 6th IASME/WSEAS Int. Conf. HEAT Transf. Therm. Eng. Environ. 309–317.
- Waghmode, M.S., Gunjal, A.B., Nawani, N.N., Patil, N.N., 2018. Management of floral waste by conversion to value-added products and their other applications. *Waste and Biomass Valorization* 9, 33–43. <https://doi.org/10.1007/s12649-016-9763-2>
- Ward, R.J., McCrohan, C.R., White, K.N., 2006. Influence of aqueous aluminium on the immune system of the freshwater crayfish *Pacifastacus leniusculus*. *Aquat. Toxicol.* 77, 222–228. <https://doi.org/10.1016/j.aquatox.2005.12.006>
- Wibowo, D., Eschenbruch, R., Davis, C.R., Fleet, G.H., Lee, T.H., 1985. Occurrence and growth of lactic acid bacteria in wine: a review. *Am. J. Enol. Vitic.* 36, 302–313.
- Wong, S.S., Teng, T.T., Ahmad, A.L., Zuhairi, A., Najafpour, G., 2006. Treatment of pulp and paper mill wastewater by polyacrylamide (PAM) in polymer induced flocculation. *J. Hazard. Mater.* 135, 378–388. <https://doi.org/10.1016/j.jhazmat.2005.11.076>
- Yang, R.L., Yan, Z.H., Lu, Y., 2008. Cytotoxic phenylpropanoids from carrot. *J. Agric. Food Chem.* 56, 3024–3027. <https://doi.org/10.1021/jf7036517>
- Yue, Q.Y., Gao, B.Y., Wang, Y., Zhang, H., Sun, X., Wang, S.G., Gu, R.R., 2008. Synthesis of polyamine flocculants and their potential use in treating dye wastewater. *J. Hazard. Mater.* 152, 221–227. <https://doi.org/10.1016/j.jhazmat.2007.06.089>
- Zeng, B., Zhang, Y., Huang, L.K., Jiang, X.M., Luo, D., Yin, G., 2014. Genetic diversity of orchardgrass (*Dactylis glomerata* L.) germplasms with resistance to rust diseases revealed by Start Codon Targeted (SCoT) markers. *Biochem. Syst. Ecol.* 54, 96–102. <https://doi.org/10.1016/j.bse.2013.12.028>
- Zhong, J., Sun, X., Wang, C., 2003. Treatment of oily wastewater produced from refinery processes using flocculation and ceramic membrane filtration. *Sep. Purif. Technol.* 32, 93–98.

[https://doi.org/10.1016/S1383-5866\(03\)00067-4](https://doi.org/10.1016/S1383-5866(03)00067-4)

III. MATERIAL E MÉTODOS

Neste capítulo são descritos os reagentes utilizados, as condições de recolha do efluente vinícola (EV), as técnicas analíticas, métodos de análise dos coagulantes orgânicos em pó (COP) e os métodos experimentais.

III.1 Reagentes utilizados e recolha de efluente vinícola (EV)

O reagente sulfato de alumínio (10% v/v, $\text{Al}_2(\text{SO}_4)_3 \cdot 18\text{H}_2\text{O}$) foi fornecido pela Scharlau, a polivinilpirrolidona (10% v/v, PVPP) foi fornecida pela A. Freitas Vilar, o hidróxido de sódio (NaOH) e o ácido sulfúrico (H_2SO_4 (95%)) foram adquiridos à Analar Normapur. A água destilada foi utilizada para preparar as respetivas soluções.

O EV foi recolhido em uma adega Portuguesa, localizada na Região do Douro (norte de Portugal), colocada em pequenos recipientes plásticos e congelado a -40 °C até à sua utilização.

III.2 Técnicas analíticas

Diferentes parâmetros físico-químicos foram determinados, de forma a caracterizar o EV, os quais inclui a turbidez, sólidos suspensos totais (SST), carência química de oxigénio (CQO), carência bioquímica de oxigénio (CBO_5), carbono orgânico total (COT) e polifenóis totais. As principais características do EV podem ser observadas na Tabela III.1.

Os polifenóis totais foram determinados pelo método de Folin-Ciocalteau, adaptado de (Singleton and Rossi, 1965), a análise da carência química de oxigénio (CQO) foi realizada por um reator de CQO HACH Co. e um espetrofotômetro HACH DR 2400 foi utilizado para efetuar a determinação colorimétrica, a carência bioquímica de oxigénio (CBO_5) foi determinada através de um sistema respirométrico OxiTop, a análise de COT foi determinada pela injeção direta de amostras filtradas em um leitor Shimadzu TOC-LCSH analyzer, equipado com um ASI-L autosampler, com um detetor NDIR e calibrado com soluções padrão de ftalato de potássio. A determinação da turbidez (Turbidímetro 2100N IS, Hach), sólidos suspensos totais (espetrofotômetro portátil, Hach), pH (3510 pH meter, Jenway) e condutividade elétrica (condutivímetro portátil, WWR C030) seguiram as metodologias da Standard Methods (APHA, 1998).

Tabela III. 1 – Caracterização do efluente vinícola

Parâmetros	Decreto-Lei Português nº 236/98	EV
pH	6,0-9,0	4,0
Carência bioquímica de oxigénio - CBO ₅ (mg O ₂ /L)	40	550
Carência química de oxigénio – CQO (mg O ₂ /L)	150	2145
Biodegradabilidade – CBO ₅ /CQO		0,26
Carbono orgânico total – COT (mg C/L)		400
Turbidez (NTU)		296
Sólidos suspensos totais – SST (mg/L)	60	750
Condutividade elétrica (μS/cm)		62,5
Polifenóis totais (mg ácido gálico/L)	0,5	22,6
Ferro (mg/L)	2,0	0,05
Alumínio (mg/L)	10,0	0,00
Cobalto (mg/L)		0,00
Cobre (mg/L)	1,0	0,014
Manganês (mg/L)	2,0	0,016
Potássio (mg/L)		20,5
Cálcio (mg/L)		1,07
Magnésio (mg/L)		0,51
Sódio (mg/L)		0,19
Zinco (mg/L)		10,53

III.3 Preparação de coagulantes orgânicos em pó

Todas as plantas utilizadas neste trabalho foram recolhidas no distrito de Vila Real (Portugal), e transportadas para o Laboratório de Engenharia Ambiental da Universidade de Trás-os-Montes e Alto Douro, Vila Real, onde foram armazenadas até serem utilizadas. As espécies *Acacia dealbata* Link., *Quercus ilex* L. e *Platanus x acerifolia* (Aiton) Willd foram recolhidas na localização GPS 41°17'12.9"N 7°44'14.1"W em março de 2020. A espécie *Tanacetum vulgare* L. foi recolhida na localização GPS 41°18'25.2"N 7°42'06.2"W em agosto de 2019. Na Tabela III.2, estão indicadas as subespécies das plantas, a parte recolhida para este estudo e o número de herbário atribuído pela UTAD para a identificação da planta.

Todas as partes vegetais recolhidas foram lavadas e secas numa estufa a 70°C durante 24 horas. Depois, essas partes foram trituradas, através de um moinho, sendo transformadas num pó. O pó moído passou depois por uma peneira, até atingir um diâmetro com uma mesh de 150 μm. O pó foi novamente seco numa estufa 70°C durante 30 min para remover a humidade. Finalmente, o pó foi deixado a arrefecer e armazenado num frasco de plástico selado.

Tabela III.2 – Identificação da planta, com descrição da espécie, subespécie, parte recolhida e número de herbário.

Espécie da planta	Subespécie	Parte recolhida	Número de herbário
<i>Acacia dealbata</i> Link.		Pólen	
<i>Quercus ilex</i> L.	<i>ilex</i>	Casca de bolota Bolota descascada	
<i>Platanus x acerifolia</i> (Aiton) Willd		Semente	
<i>Tanacetum vulgare</i> L.		Semente	HVR22099

III.4 Caracterização do pó vegetal

Os espectros FTIR foram obtidos misturando 2 mg de pó vegetal com 200 mg de KBr. As misturas de pó foram então inseridas em moldes e prensadas a 10 ton/cm² para obter os pellets transparentes. As amostras foram analisadas com um espectrómetro de infravermelho de transformação Fourier IRAffinity-1S (Shimadzu) e os espectros de infravermelho em modo de transmissão foram detetados na região de frequência 4000 – 400 cm⁻¹. A caracterização microestrutural, foi realizada pela microscopia eletrónica de varrimento (SEM/ESEM FEI QUANTA - 400). A caracterização mineral (ferro, cobre, sódio, potássio, cálcio e magnésio) foi obtida pela digestão de 500 mg de amostras em pó por ácido nítrico e peróxido de hidrogénio, durante 24 horas. Em seguida, as amostras foram transferidas para um reator (Techne), a 60 °C. A temperatura foi gradualmente elevada para 80 °C, 100 °C, 120 °C até atingir os 150 °C. As amostras foram depois arrefecidas, e foi adicionada uma solução matriz (1.5ml de HNO₃ p.a. conc. em 1000ml de água destilada). Finalmente, as concentrações de catiões foram analisadas por espectroscopia de absorção atómica (EAA), através de um Thermo Scientific iCE 3000 SERIES.

III.5 Descrição do procedimento coagulação-flocação-decantação em batch

As experiências de coagulação-flocação-decantação foram realizadas num aparelho jar-Test (ISCO JF-4), utilizando 500 mL de efluente vinícola em gobelés de 1000 ml. O equipamento possui um conjunto de 4 agitadores mecânicos, alimentados por um motor capaz de regular a velocidade. No processo CFD, foram testados 5 coagulantes orgânicos em pó ou COP, que incluíam pólen de *Acacia dealbata* Link., casca de bolota e bolota descascada de *Quercus ilex* L., sementes de *Platanus x acerifolia* (Aiton) Willd e sementes

de *Tanacetum vulgare L.* Além dos COP, foi testado um coagulante metálico, sulfato de alumínio ($\text{Al}_2(\text{SO}_4)_3 \cdot 18\text{H}_2\text{O}$, a 10% v/v), de forma a avaliar a eficiência dos COP no tratamento do EV. Foram realizados vários ensaios a fim de otimizar o processo de coagulação-flocação-decantação:

1) 0,1, 0,5, 1,0 ou 2,0 g/L de COP e sulfato de alumínio foram adicionados a 500 mL de amostra EV a pH de 3,0, 5,0, 7,0, 9,0 e 11,0. Após uma mistura rápida de 150 rpm a 3 min e uma mistura lenta de 20 rpm a 20 min, o EV foi deixado em sedimentação durante 12h. Depois, o sobrenadante foi retirado de um ponto localizado a cerca de 2 cm abaixo do topo do nível do líquido do gobelé, para determinar a CQO, turbidez e SST, de modo a que o efeito da dose de coagulante vs pH pudesse ser estudado;

2) Os valores ótimos pré-determinados (pH e dosagem) dos COP e sulfato de alumínio obtidos em (1) foram adicionados à amostra EV. Depois o processo de mistura (rpm/min) foi variado sob diferentes condições de mistura rápida (rpm/min) - mistura lenta (rpm/min) (120/1 - 20/30; 150/3 - 20/20; 150/2 - 50/30; 180/3 - 40/17; 200/2 - 60/30). Após a agitação e sedimentação, conforme descrito em (1), o sobrenadante foi retirado para determinar a CQO, turbidez e SST, para que o efeito do processo de mistura pudesse ser estudado;

3) O valor ótimo pré-determinado (dosagem, pH, mistura) dos COP e sulfato de alumínio obtidos em (1) e (2) foram adicionados à amostra EV. Foram adicionadas diferentes concentrações (5, 45, 85, ou 100 mg/L) de um polieletrólico (PVPP) e o líquido foi misturado de acordo com as condições ótimas obtidas em (2) e o CQO, turbidez e SST foram calculados, de forma a determinar a dosagem ótima de polieletrólico que aumenta a eficácia da coagulação. Após a retirada do sobrenadante, o volume de borra líquida produzida, foi determinada por um cone Imhoff, a partir do nível de borra no fundo dos gobelés de jar-Test. Todas as experiências foram realizadas em triplicado e o desvio padrão observado foi sempre inferior a 5% dos valores reportados.

X_i é definido como um determinado indicador de remoção (%), dos contaminantes presentes no efluente vinícola (turbidez, SST, CQO, CBO_5 e polifenóis totais) que é determinado pela Eq. III.1 (Peres et al., 2004):

$$X_i (\%) = \frac{C_0 - C_f}{C_0} * 100 \quad \text{Eq. III.1}$$

Onde C_0 e C_f são respectivamente as concentrações inicial e final, do parâmetro i.

III.6 Bibliografia

- APHA, 1998. Standard Methods for the Examination of Water and Wastewater.
- APHA, AWWA, WEF, 1999. Standard Methods for the Examination of Water and Wastewater, 20th edn. American Public Health Association, American Water Works Association, Water Environment Federation.
- Peres, J.A., Heredia, J.B. de, Domínguez, J.R., 2004. Integrated Fenton's reagent — coagulation/flocculation process for the treatment of cork processing wastewaters. *J. Hazard. Mater.* 107, 115–121. <https://doi.org/10.1016/j.jhazmat.2003.09.012>
- Singleton, V., Rossi, J., 1965. Colorimetry of Total Phenolics with Phosphomolybdic-Phosphotungstic Acid Reagents. *Am J Enol Vitic* 16, 144–158.

IV. RESULTADOS E DISCUSSÃO

IV.1 Caracterização dos coagulantes orgânicos em pó

IV.1.1 Análise de FTIR

Na Fig. IV.1, é apresentado o espectro FTIR dos coagulantes orgânicos em pó das seguintes espécies: *Acacia dealbata Link.* (pólen), *Quercus ilex L.* (casca da bolota), *Quercus ilex L.* (bolota descascada), *Platanus x acerifolia (Aiton) Willd.* (sementes) e *Tanacetum vulgare L.* (sementes). A área do espectro foi analisada num intervalo de 400 a 4000 cm⁻¹.

A análise do espetro da *Acacia dealbata Link.* (pólen) revelou uma banda de 3481,51 cm⁻¹, relacionada com a presença dos grupos fenólicos hidroxilos (distensão da banda de OH). As bandas de absorção de 2920,23 e 2848,86 cm⁻¹ foram atribuídas às vibrações C-H e CH₂ do hidrocarboneto alifático. As bandas de absorção 1631,78, 1514,12 e 1454,33 cm⁻¹ foram associadas à vibração de distensão que representam os anéis aromáticos (Aguilar-López et al., 2012; Lisperger et al., 2016). A banda 1028,06 cm⁻¹ foi atribuída à vibração de distensão da molécula de C-O correspondente à vibração do anel de glucose e da holocelulose e hemicelulose (Aguilar-López et al., 2012; Lee and Lan, 2006; Lisperger et al., 2016). Da banda de 1200-1000 cm⁻¹ estão incluídas as vibrações de distensão simétricas das moléculas C-O-C e as vibrações de flexão no plano correspondentes às moléculas aromáticas C-H (Lee and Lan, 2006).

A análise do espetro da *Quercus ilex L.* (casca da bolota), evidenciou uma banda de 3500,80 cm⁻¹, que representa as ligações de hidrogénio dos grupos O-H da celulose e lenhina, a banda de absorção 2883,58 cm⁻¹ referente à distensão simétrica da molécula de C-H e à vibração do grupo CH₂ (Mébarki et al., 2019). As bandas de absorção 1737,86, 1456,25, 1163,07 e 783,09 cm⁻¹ estão relacionadas com a distensão das moléculas C=O, deformação CH₂, distensão das moléculas C-O-C e à rotação da molécula de CH₂ dos lípidos (triglicéridos e fosfolípidos). As bandas de absorção 1620,20 e 1519,90 cm⁻¹ indicam a presença de amido I (distensão das moléculas de C=O) e amido II (detenção de deformação NH e distensão das moléculas de C-N relacionadas com proteínas). A deteção das bandas de absorção 1163,07, 1110,99 e 1029,98 cm⁻¹, está associada com a distensão das moléculas de C-O-C e de C-OH dos hidratos de carbono (celulose e amilose). As bandas de absorção 1163,07, 831,31 e 783,09 cm⁻¹ estão relacionadas com a presença de

anéis aromáticos em subunidades de fenilpropanoides e de esporopoleninas (Gottardini et al., 2007; Muthreich et al., 2020; Pappas et al., 2003; Schulte et al., 2008; Zimmermann, 2010; Zimmermann and Kohler, 2014).

A análise do espetro FTIR da *Quercus ilex L.* (bolota descascada) revelou uma banda de 3414,00 cm⁻¹ relacionada com ligações de hidrogénio dos grupos O-H da celulose e lenhina e uma banda a 2854,64 cm⁻¹ associada a uma distensão simétrica da molécula de C-H e à vibração do grupo CH₂ (Mébarki et al., 2019). As bandas de absorção 1745,57, 1463,97, 1159,21, 995,26 e 713,66 cm⁻¹ correspondem à distensão das moléculas C=O, deformação CH₂, distensão das moléculas de C-O-C e à rotação da molécula de CH₂ dos lípidos (triglicerídeos e fosfolípidos). A banda de absorção de 1651,06 cm⁻¹ está ligada à presença de amido I (distensão C=O, relacionada com a presença de proteínas). As bandas de absorção 1556,55 e 1537,26 cm⁻¹ estão relacionadas com a presença de amido II (deformação da molécula de NH e distensão da molécula de C-N relacionadas com proteínas). As bandas de absorção 1159,21, 1103,28, 1078,20, 995,26 cm⁻¹ estão relacionadas com a distensão das moléculas C-O-C e C-OH ligadas à presença de hidratos de carbono (celulose e amilose). As bandas de absorção 1159,21, 862,18 e 813,96 cm⁻¹ estão ligadas à presença de anéis aromáticos em subunidades fenilpropanóides de esporopoleninas (Gottardini et al., 2007; Muthreich et al., 2020; Pappas et al., 2003; Schulte et al., 2008; Zimmermann, 2010; Zimmermann and Kohler, 2014).

A análise do espetro de FTIR da *Platanus x acerifolia* (Aiton) Willd. (sementes) exibiu uma banda de absorção a 3500,80 cm⁻¹ que corresponde à distensão dos grupos -OH (Mularczyk-Oliwa et al., 2012; Ribeiro et al., 2017). As bandas de absorção de 2920,22 e 2848,86 cm⁻¹ são atribuídas à distensão fora-de-fase CH₂ e dentro-de-fase CH₃, respetivamente, característico das cadeias de hidrocarbonetos em lípidos (Kanter et al., 2013; Mularczyk-Oliwa et al., 2012; Zhao et al., 2016). A banda de absorção de 1651,06 cm⁻¹ está associada à presença de amido I (distensão da molécula C=O) e a banda de absorção 1514,12 cm⁻¹ está ligada à presença de amido II (deformação da molécula NH e distensão da molécula C-N, ambas pertencentes a proteínas). A banda de absorção 1747,50 cm⁻¹ está ligada à presença de lípidos através da distensão da molécula C=O de ésteres metílicos, a banda 1463,97 cm⁻¹ representa a deformação CH₂, e a banda 1168,86 cm⁻¹ está relacionada com a distensão da molécula P=O pertencente a fosfolípidos. A presença de hidratos de carbono foi detetada na região entre 1200-900 cm⁻¹, associada à distensão da molécula C-O-C, à distensão da molécula C-OH, à deformação da molécula COH e à deformação da molécula COC. Foi também detetada a presença de constituintes

de esporopolenina através das bandas de absorção 1514,2, 1168,86, 893,69 e 827,46 cm⁻¹, associadas à vibração de anéis aromáticos (Bağcicioğlu et al., 2015; Kanter et al., 2013; Mularczyk-Oliwa et al., 2012; Pappas et al., 2003; Zhao et al., 2016; Zimmermann, 2010; Zimmermann and Kohler, 2014).

A análise FTIR de *Tanacetum vulgare L.* (sementes) apresentou uma banda de absorção a 3419,79 cm⁻¹, que pode ser atribuída à presença de grupos hidroxilos (OH) presentes nas proteínas, ácidos gordos, hidratos de carbono e lenhina (Ayo et al., 2014; Vunain et al., 2019), uma banda de 2916,36 cm⁻¹ atribuída à distensão simétrica de grupos -CH alifáticos ligados aos ácidos gordos (Dubey et al., 2010; Kawsar et al., 2009), uma banda de 2850, 79 cm⁻¹ atribuída à distensão assimétrica do grupo C-H que pertence à molécula de CH₂ presente nos ácidos gordos (Araújo et al., 2010), uma banda de 1550,76 cm⁻¹ atribuída à frequência de distensão da molécula C=O (Selvi et al., 2009), uma banda de 1253,73 cm⁻¹ atribuída à distensão da molécula C-O de ésteres, éteres, e fenóis (Chang Chien et al., 2007) e uma banda de 1029,98 cm⁻¹ atribuída à distensão simétrica da molécula C-O (Selvi et al., 2009).

A polivinilpirrolidona (PVPP), foi utilizada como floculante e a sua estrutura também foi analisada pelo FTIR. Na Fig. IV.1(b) foi observada uma banda a 3481,51 cm⁻¹ atribuída à distensão da molécula O-H correspondente à distensão do grupo hidroxilo (OH) do PVPP (Borodko et al., 2006), uma banda a 2956,87 cm⁻¹ atribuída à vibração de distensão assimétrica da molécula de CH₂ (anel) (Abdelghany et al., 2015), uma banda a 2895,15 cm⁻¹ atribuída à distensão da molécula C-H (Borodko et al., 2006), uma banda a 1651,06 cm⁻¹ que corresponde à vibração de distensão da molécula C=O do PVPP (Abdelaziz and Abdelrazek, 2007; Abdelrazek et al., 2010; Laot et al., 1999; Lewandowska, 2005), uma banda a 1463,97 cm⁻¹ atribuída a vibrações tesoura da molécula CH₂ (Abdelghany et al., 2015), uma banda a 1288,44 cm⁻¹ atribuída à distensão da molécula C-N ou à distensão da molécula C-O (Tawansi et al., 2005), uma banda a 1228,65 cm⁻¹ atribuída à vibração de torção da molécula CH₂ do PVPP e uma banda a 1020,34 cm⁻¹ atribuída à vibração de rotação da molécula CH₂ do PVPP (Abdelghany et al., 2015; Borodko et al., 2006).

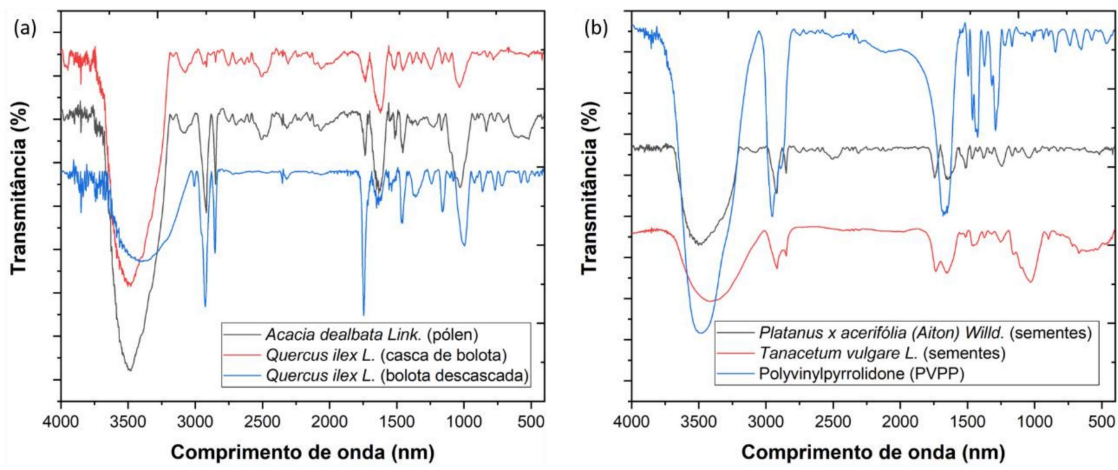
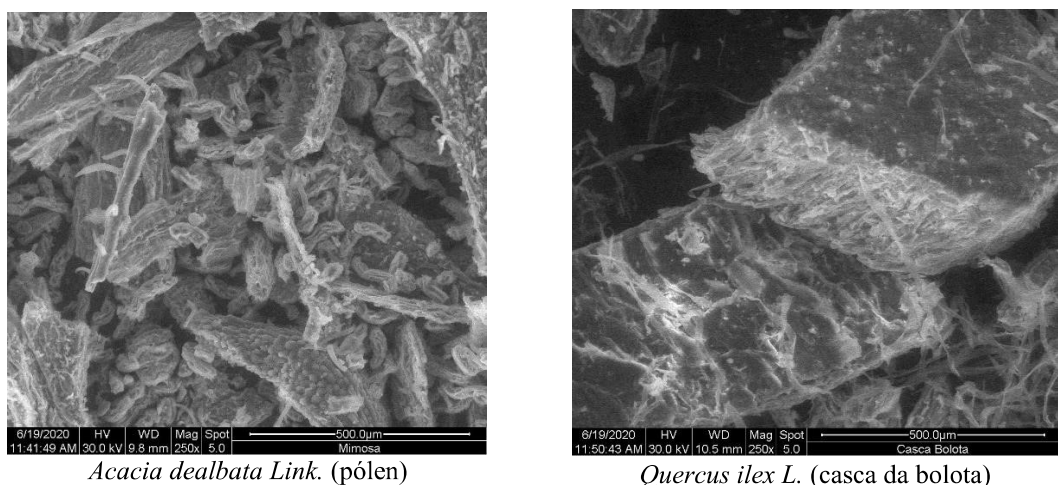


Fig. IV. 1 – Espectro FTIR de (a) coagulantes em pó *Acacia dealbata* Link. (pólen), *Quercus ilex* L. (casca de bolota) e *Quercus ilex* L. (bolota descascada), (b) *Platanus x acerifolia* (Aiton) Willd. (sementes), *Tanacetum vulgare* L. (sementes) e Polivinilpirrolidona (PVPP).

IV.1.2 Análise Microscopia Eletrónica de Varrimento (MEV)

Na Fig. IV. 2, são apresentadas as imagens MEV dos coagulantes orgânicos em pó (COP) utilizados como coagulantes neste trabalho. Observou-se que os materiais orgânicos apresentavam uma morfologia heterogénea e relativamente porosa. Os espaços disponíveis observados nas imagens podem aumentar o processo de adsorção, pois proporcionariam uma elevada área de superfície interna. Além disso, a estrutura das plantas facilita o processo de adsorção iônica devido aos interstícios e devido à presença do componente proteico do pólen, da casca e das sementes, tal como observado na análise FTIR (Vunain et al., 2019). As estruturas esféricas e em cadeia observadas nas imagens MEV podem contribuir para baixar a turbidez do efluente (borra), um facto observado por (Araújo et al., 2010; Boulaadjoul et al., 2018; Vunain et al., 2019).



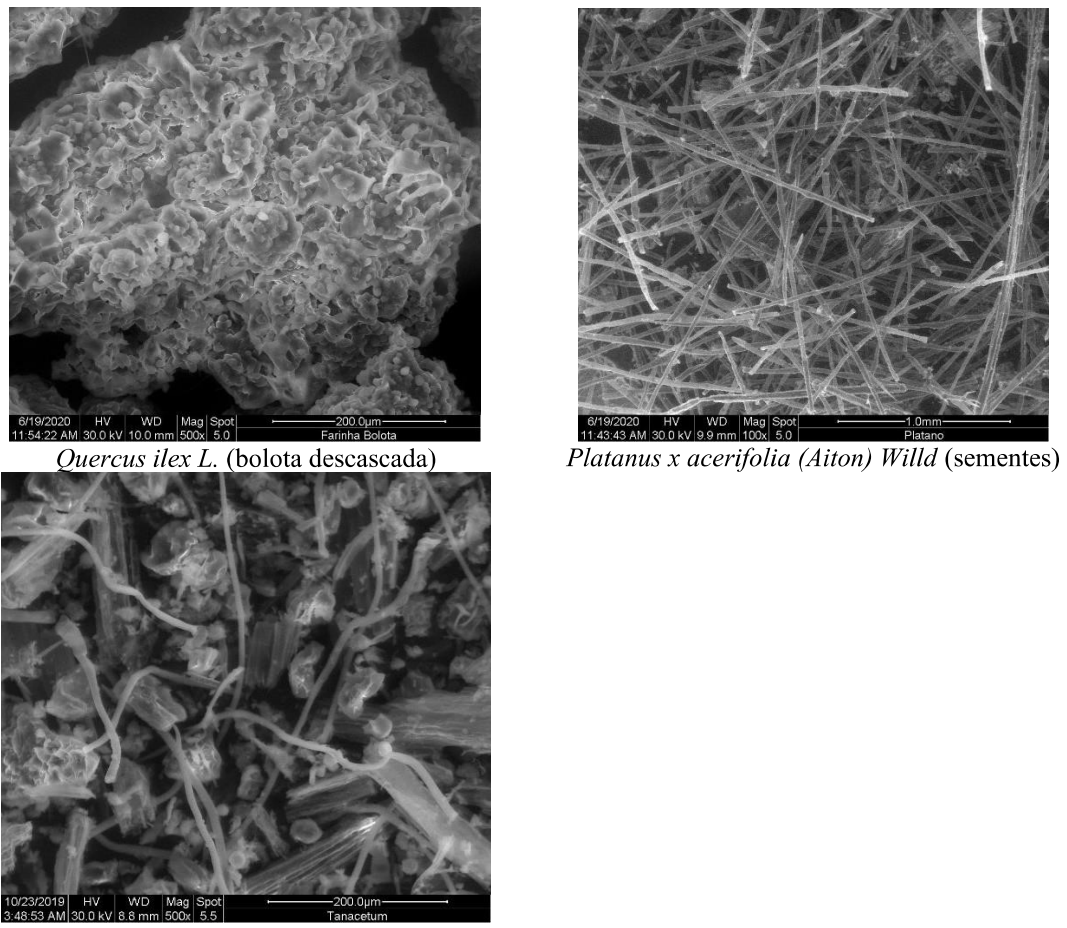


Fig. IV. 2 – Imagens de microscopia electrónica de varrimento (MEV) de coagulantes orgânicos em pó *Acacia dealbata* Link. (pólen), *Quercus ilex* L. (casca da bolota), *Quercus ilex* L. (bolota descascada), *Platanus x acerifolia* (Aiton) Willd. (sementes) e *Tanacetum vulgare* L. (sementes).

IV.1.3 Análise dos minerais

A concentração de ferro, cobre, sódio, potássio, cálcio e magnésio presentes nos COP foi estudada por digestão dos pós em ácido nítrico, e os minerais foram quantificados por espectrofotometria de absorção atómica (EAA). Os resultados foram apresentados na Tabela IV.1. Todas as plantas exibiram uma baixa concentração de ferro e cobre. No entanto, a concentração de sódio, potássio, cálcio e magnésio foi muito mais elevada. No trabalho realizado por (Iwahashi et al., 1982), observou-se que com o crescimento das plantas, estes minerais acumulam-se nas folhas, pecíolos e caules das plantas. Observou-se também, que as folhas perdem a maioria destes minerais durante o crescimento das plantas, contudo, nos pecíolos e caules a concentração permanece quase a mesma durante a fase estacionária, o que poderia explicar as concentrações detetadas nos COP.

Tabela IV. 1 Resultados da concentração de ferro, cobre, sódio, potássio, cálcio e magnésio presentes em 500 mg de coagulantes orgânicos em pó *Acacia dealbata* Link. (pólen), *Quercus ilex* L. (casca da bolota), *Quercus ilex* L. (bolota descascada), *Platanus x acerifolia* (Aiton) Willd. (sementes) e *Tanacetum vulgare* L. (sementes) em mg/L.

Coagulantes	Ferro mg/L	Cobre mg/L	Sódio mg/L	Potássio mg/L	Cálcio mg/L	Magnésio mg/L
<i>Acacia dealbata</i> Link. (pólen)	1,6	0,4	99,5	777,4	94,8	74,9
<i>Quercus ilex</i> L. (casca da bolota)	5,2	0,2	49,2	61,5	110,6	27,4
<i>Quercus ilex</i> L. (bolota descascada)	0,5	0,2	45,0	407,8	22,7	26,9
<i>Platanus x acerifolia</i> (Aiton) Willd. (sementes)	3,1	0,3	54,1	137,1	81,5	45,0
<i>Tanacetum vulgare</i> L. (sementes)	2,2	0,4	626,4	633,1	311,6	126,1

IV.2 Otimização do processo de coagulação-flocação-decantação

Este estudo foi realizado para responder a um dos principais objetivos deste trabalho, produzir e aplicar COP no processo de CFD para o tratamento do efluente vinícola (EV). Para estudar a eficiência dos COP, foi realizada uma coagulação adicional com aplicação de sulfato de alumínio para comparação. O processo de coagulação-flocação-decantação (CFD) passou por 3 fases de otimização: (1) fase 1, em que foi variado o pH e dosagem de coagulante, (2) fase 2, foram variadas as velocidades de agitação rápida e lenta, (3) o processo de CFD foi otimizado pela combinação dos coagulantes com PVPP, um polímero sintético, que atuou como floculante. Os resultados observados nesta secção, permitiram obter as melhores condições operacionais para cada coagulante, os quais foram apresentados na Tabela IV.2.

Tabela IV. 2 – Melhores condições operacionais de coagulantes em pó *Acacia dealbata* Link. (pólen), d*Quercus ilex* L. (casca da bolota), *Quercus ilex* L. (bolota descascada), *Platanus x acerifolia* (Aiton) Willd. (sementes), *Tanacetum vulgare* L. (sementes) e sulfato de alumínio para o processo CFD ($[CQO]_0 = 2145$ mg O₂/L, turbidez = 296 NTU, SST = 750 mg/L, temperatura 298 K, tempo de sedimentação 12 h).

Otimização das fases	Fase 1		Fase 2		Fase 3	
	Coagulante	pH	Dosagem do Coagulante g/L	Mistura Rápida rpm/min	Mistura Lenta rpm/min	[PVPP] mg/L
<i>Acacia dealbata</i> Link. (pólen)	3	0,1		120/1	20/30	45
<i>Quercus ilex</i> L. (casca da bolota)	3	0,1		150/3	20/20	45
<i>Quercus ilex</i> L. (bolota descascada)	3	0,1		180/3	40/17	100
<i>Platanus x acerifolia</i> (Aiton) Willd. (sementes)	3	0,1		150/3	20/20	5
<i>Tanacetum vulgare</i> L. (sementes)	3	0,1		120/1	20/30	5
Sulfato de Alumínio	5	1,0		120/1	20/30	5

Nas secções seguintes, será demonstrado que a remoção de turbidez, SST e CQO depende de vários fatores (dosagem do coagulante, pH inicial, velocidade de mistura e dosagem do floculante).

IV.2.1 Efeito do pH versus dosagem dos coagulantes (Fase 1)

O processo de coagulação-flocação-decantação (CFD) é essencial para reduzir os sólidos suspensos totais, carga orgânica e cor (Amor et al., 2015). A cor escura do EV deve-se principalmente à presença de altas concentrações de carbono orgânico, principalmente polifenóis, e sólidos em suspensão (Rizzo et al., 2010) e a sua remoção bem-sucedida permite que a luz penetre melhor através da solução, de forma a desencadear a reação do foto-Fenton. Além disso, valores mais baixos de turbidez favorecem também o desempenho do processo de Fenton (Amor et al., 2015). Apesar de este trabalho se focar no processo de CFD, este será um complemento para o processo de foto-Fenton, como foi observado no capítulo I.

O papel de diferentes parâmetros operacionais, tais como pH e dosagem dos coagulantes foram analisados para estabelecer as condições operacionais ideais para o tratamento do EV pelo processo CFD. Nestas experiências, a dosagem de coagulante (0,1, 0,5, 1,0 e 2,0 g/L) e pH do EV (3,0, 5,0, 7,0, 9,0 e 11) foram testados sob as seguintes condições: mistura rápida 150 rpm/3 min, mistura lenta 20 rpm/20 min, temperatura 298 K, tempo de sedimentação 12 h. Na Fig. IV.3, pode observar-se a eficiência dos coagulantes *Acacia dealbata* Link. (pólen), *Quercus ilex* L. (casca da bolota), *Quercus ilex* L. (bolota descascada), *Platanus x acerifolia* (Aiton) Willd. (sementes), *Tanacetum vulgare* L. (sementes) e sulfato de alumínio na remoção da turbidez, SST e CQO.

O valor médio de turbidez detetado no EV foi de 296 NTU e com a aplicação das condições operacionais observadas na Tabela IV.2, a turbidez do EV teve uma diminuição significativa, com uma remoção de 83,0, 85,8, 85,6, 86,4, 86,0 e 97,5% respetivamente. Na Fig. IV.3 verificaram-se remoções de turbidez ligeiramente mais elevadas a pH 11, contudo a diferença entre pH 3,0 e 11 não justificou a aplicação de um pH mais elevado no EV. Esta vertente é importante de um ponto de vista económico, uma vez que o EV tem um pH \approx 3,0, permitindo que não haja custos associados a uma mudança de pH. Outros autores como (Madrona et al., 2010), e (Nkurunziza et al., 2009), também utilizaram coagulantes à base de plantas, e observaram que houve uma remoção de 99,7% e 99,8% de turbidez com a utilização de *Moringa oleifera*.

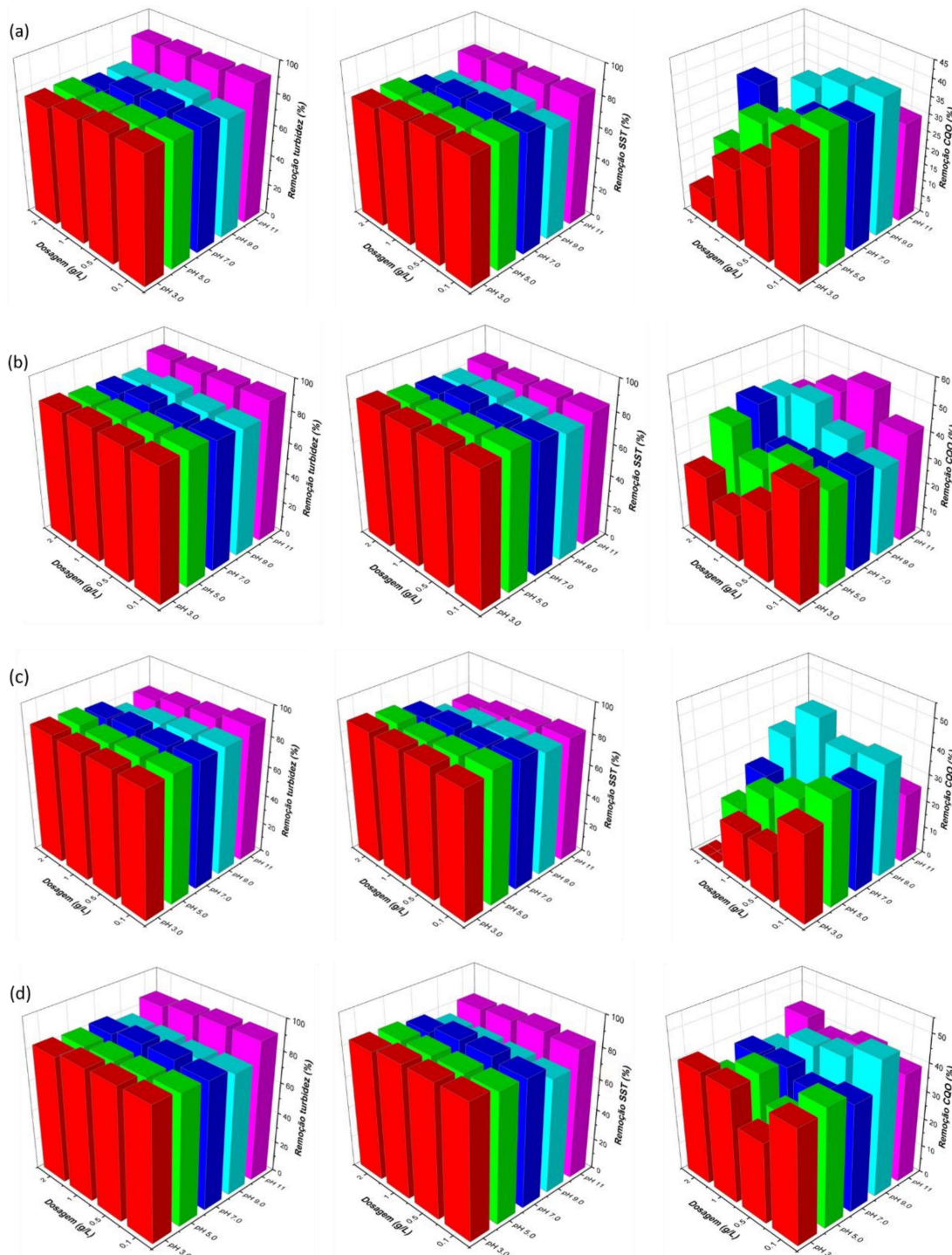
A análise inicial do EV revelou um elevado valor de SST (750 mg/L), o que é muito significativo, uma vez que a legislação portuguesa tem um limite de 60 mg/L. O elevado teor em sólidos suspensos é também um problema porque bloqueia diretamente a penetração da radiação no EV. A aplicação dos coagulantes com as condições operacionais observadas na Tabela IV.2 permitiu uma redução significativa do SST, com 82,5, 85,6, 85,1, 86,4, 84,8 e 84,5% respetivamente. (Chung et al., 2018) também observou uma remoção de 88,5% do SST no efluente de óleo de palma com aplicação de amendoim-okra e gémen de trigo-okra, os quais possuem uma composição química semelhante à dos coagulantes orgânicos utilizados neste trabalho.

O EV revelou um elevado teor de CQO (2145 mg O₂/L) sendo muito tóxico para o ambiente e ultrapassando o valor definido pela legislação portuguesa com um limite de 150 mg O₂/L. A aplicação do processo de CFD diminuiu o teor de CQO em 38,1, 43,5, 32,6, 40,4, 31,1 e 28,7% respetivamente. É evidente que os COP tiveram um efeito semelhante ou superior na remoção do carbono orgânico relativamente ao sulfato de alumínio, o que é importante tendo em conta os efeitos do alumínio sobre a saúde humana (Madrona et al., 2010).

Os elevados níveis de remoção de turbidez, SST e CQO observados com a aplicação de COP estão relacionados com a existência de proteínas, que foram reveladas após a análise FTIR (Fig. IV.1). De acordo com (Ndabigengesere and Narasiah, 1998) e (Camacho et al., 2017), os agentes ativos da coagulação são proteínas catiónicas dimétricas com um peso molecular de aproximadamente 13 kDa com um ponto isoelétrico entre 10 e 11. Portanto, desde o pH 3,0 a 7,0, o comportamento dos coagulantes foi consistente com um mecanismo de interação/neutralização de cargas entre as proteínas carregadas positivamente e as suspensões coloidais carregadas negativamente. A pH 7,0, o mecanismo de coagulação pode envolver tanto a desestabilização de carga como a adsorção/enredamento (coagulação em flocos) pela fase sólida dos COP. A pH 9,0 e 11, acredita-se que a coagulação por COP seja principalmente por adsorção/enredamento (coagulação em flocos). Resultados semelhantes foram também observados por (Graham et al., 2008) após a caracterização de um polímero catiónico à base de tanino da casca de *Acacia mearnsii bark*.

Em relação ao sulfato de alumínio, observou-se uma maior eficiência com uma dosagem mais baixa a pH 5,0 em relação ao pH 3,0. Estes resultados estão de acordo com (R. Braz et al., 2010), que observou uma maior remoção de turbidez, SST e CQO do EV entre pH 5,0 e 7,0. Para entender o processo de desestabilização das partículas coloidais

e as remoções conseguidas com iões metálicos hidrolisados (neste caso alumínio), é necessário considerar a formação e ação dos produtos de hidrólise dos iões metálicos: adsorção e neutralização de cargas, adsorção e interação interparículas e enredamento em flocos. De acordo com (Howe et al., 2012), a região de operação para precipitação de alumínio, no intervalo de pH de 5,0 a 7,0, envolve a formação de Al^{3+} , Al(OH)_3 , AlHO_4^- , e $\text{Al(OH)}_2^+\text{AlHO}^{2+}$.



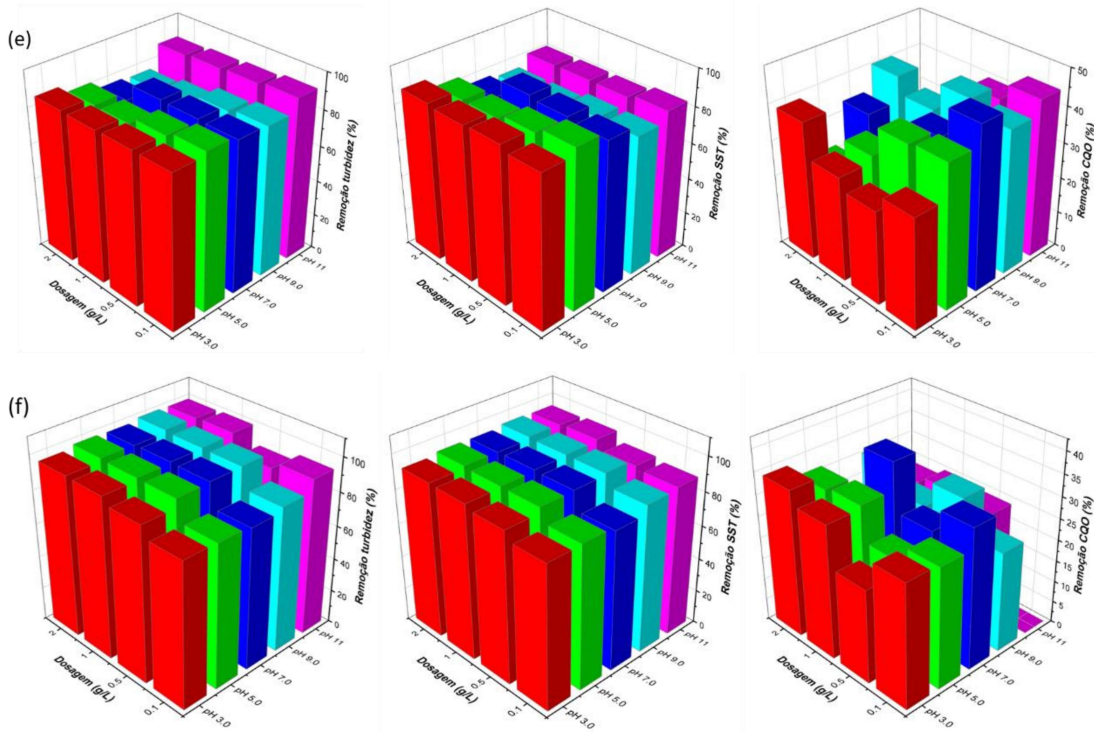


Fig. IV. 3- Efeito do pH vs dosagem de coagulante na eficiência do processo de coagulação-flocação-decantação, após a aplicação de (a) *Acacia dealbata* Link. (polen), (b) *Quercus ilex* L. (casca da bolota), (c) *Quercus ilex* L. (bolota descascada), (d) *Platanus x acerifolia* (Aiton) Willd. (sementes), (e) *Tanacetum vulgare* L. (sementes), (f) sulfato de alumínio. Condições operacionais do processo de CFD ($[CQO]_0 = 2145 \text{ mg O}_2/\text{L}$, turbidez = 296 NTU, SST = 750 mg/L, mistura rápida 150 rpm/3 min, mistura lenta 20 rpm/20 min, temperatura 298 K, tempo de sedimentação 12 h).

IV.2.2 Efeito da agitação (Fase 2)

A fim de aumentar a remoção turbidez, SST e CQO pelo processo CFD, as condições de mistura foram otimizadas. No capítulo IV.2.1, observou-se que o pH e a dosagem de coagulante tiveram uma grande influência no tratamento do EV, no entanto, foi necessário compreender se a agitação também teve efeito no processo de CFD.

Ao pesquisar outros trabalhos relacionados com a coagulação-flocação-decantação, observou-se uma grande variação das condições de mistura aplicadas por outros autores. A fim de se conseguir uma melhor compreensão do efeito de agitação sobre os COP e o sulfato de alumínio, algumas dessas condições de agitação foram aplicadas. Pela observação da Tabela IV. 3, a velocidade de mistura rápida variou entre 120 a 200 rpm e a velocidade de mistura lenta variou entre 20 e 60 rpm.

Tabela IV. 3 - Condições de mistura aplicadas no processo de coagulação-flocação-decantação.

Velocidade de mistura rápida rpm/min	Velocidade de mistura lenta rpm/min	Referências
120/1	20/30	(Amaral-Silva et al., 2016)
150/3	20/20	(Amor et al., 2012; Rui Braz et al., 2010)
150/2	50/30	(Ishak et al., 2018)
180/3	40/17	(Marañón et al., 2015)
200/2	60/30	(Amuda et al., 2006)

A agitação adequada é necessária tanto quando o coagulante é adicionado, como durante a formação e crescimento dos flocos. À medida que o tamanho das partículas aumenta, a agitação pode quebrar os flocos existentes como resultado de forças abruptas, e a eficácia da colisão das partículas num campo de cisalhamento diminui (Brakalov, 1987; Dominguez et al., 2007; Li et al., 2006). Um equilíbrio dinâmico entre o crescimento de flocos e o estilhaçamento, leva frequentemente a uma distribuição do tamanho dos flocos num estado estável, onde a limitação do tamanho depende da taxa de cisalhamento aplicada (Dominguez et al., 2007). Se a taxa de cisalhamento efetiva for aumentada, os flocos pré formados podem ser quebrados de uma forma que depende do tamanho do floco em relação à microescala de turbulência (Dominguez et al., 2007), um efeito que foi observado na Fig. IV.4 relativamente aos coagulantes *Acacia dealbata Link.* (pólen), *Tanacetum vulgare L.* (sementes) e sulfato de alumínio. Na Fig. IV.4, observou-se que com a aplicação das condições de mistura descritas na Tabela IV.2, houve uma elevada remoção de turbidez (86,1, 85,8, 86,7, 86,4, 84,3 e 95,6% respetivamente), de SST (84,3, 85,6, 87,2, 86,4, 82,3 e 91,6% respetivamente) e de CQO (38,9, 43,5, 39,6, 40,4, 50,5 e 43,5% respetivamente).

Observou-se anteriormente que os COP atuavam por um mecanismo de interação/neutralização, enquanto o sulfato de alumínio atuava por um sistema de coagulação de flocos enredados. Os flocos formados por estes coagulantes hidrolisantes tendem a ser bastante fracos, pelo que a quebra ocorre imediatamente, e não é totalmente reversível, e os flocos não se formam completamente quando as condições originais de cisalhamento são restauradas (Dominguez et al., 2007).

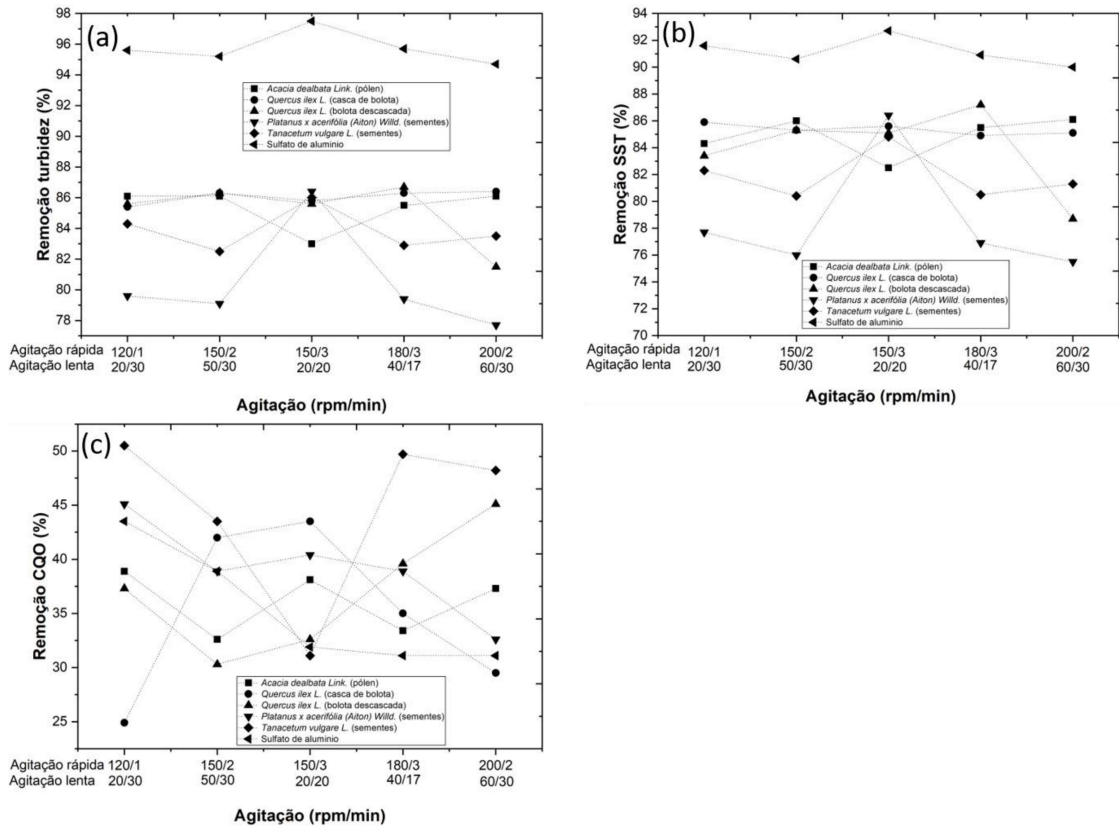


Fig. IV. 4- Efeito das condições de mistura na remoção de (a) turbidez, (b) SST, (c) CQO. Condições operacionais de CFD ($[CQO]_0 = 2145 \text{ mg O}_2/\text{L}$, turbidez = 296 NTU, SST = 750 mg/L, temperatura 298 K, tempo de sedimentação 12 h).

IV.2.3 Efeito do polieletrólico (PVPP) no processo de coagulação-flocação-decantação (Fase 3)

Nos capítulos anteriores, observou-se que o processo CFD é influenciado pelo pH do EV, pela dosagem dos coagulantes e pelas condições de mistura. Neste capítulo foi testado a adição de um polieletrólico, a polivinilpirrolidona (PVPP) para aumentar a eficiência de coagulação.

Os polieletrólicos podem ser utilizados como coagulantes primários para tratamento de águas residuais, mas também podem ser utilizados como auxiliares da coagulação (Amuda et al., 2006; Amuda and Alade, 2006; Sievers et al., 1994), devido à vantagem de serem mais seguros de manusear e facilmente biodegradáveis em comparação com os coagulantes químicos (Amuda and Amoo, 2007; Sievers et al., 1994; Zhu et al., 2004). A polivinilpirrolidona (PVPP) tem sido utilizada há muitos anos na indústria vinícola para a clarificação de vinhos (Cosme et al., 2012). Neste trabalho, a PVPP foi utilizada como floculante, a fim de aumentar a eficiência do processo CFD na remoção da turbidez, SST

e CQO do EV. A concentração de PVPP variou entre 5 a 100 mg/L, com base nos estudos de (Amuda and Amoo, 2007), e considerando as concentrações máximas recomendadas de PVPP nos vinhos (máximo: 80 g/hL) (Laborde et al., 2006; Ribéreau-Gayon et al., 2006).

Na Fig. IV.5 (a), observou-se que a aplicação de diferentes concentrações de PVPP influenciaram a remoção da turbidez do EV. Com a aplicação das concentrações ótimas de PVPP descritas na Tabela IV.2, verificou-se uma remoção de turbidez de 97,6, 98,8, 98,2, 97,3, 98,3 e 99,5% respetivamente. A adição de PVPP aumentou claramente a eficiência dos coagulantes, conseguindo-se remoções muito mais elevadas do que com a aplicação dos coagulantes.

Na Fig. IV.5 (b), pode constar-se que a remoção do SST também foi influenciada pela concentração de PVPP. Com a aplicação da concentração ótima de PVPP (Tabela IV.2) observou-se uma remoção de SST de 94,7, 94,8, 94,5, 93,7, 94,7 e 95,3% respetivamente. Estes valores estão todos dentro da legislação portuguesa (< 60 mg/L).

Na Fig. IV.5 (c) observou-se que a remoção de CQO também foi melhorada pela adição de PVPP. A aplicação da concentração ótima de PVPP conseguiu uma remoção de 46,6, 42,0, 46,6, 48,2, 52,8 e 43,5% respetivamente. Esta remoção maior, poderá ser associada à formação de um maior número de flocos pela combinação dos coagulantes com a PVPP. Como resultado, a suspensão de um maior número de flocos foi aumentada e, ao mesmo tempo, a remoção de uma maior quantidade de contaminantes orgânicos foi conseguida, devido à acessibilidade de uma maior área de superfície em que a adsorção dos contaminantes orgânicos teve lugar.

A dose ideal de um coagulante ou floculante é definida como o valor acima do qual não há diferença significativa no aumento da eficiência de remoção com uma adição adicional de coagulante ou floculante (Amuda and Alade, 2006; Amuda and Amoo, 2007). No caso dos coagulantes, *Acacia dealbata* Link. (pólen), *Quercus ilex* L. (casca da bolota) e *Quercus ilex* L. (bolota descascada) foram necessárias concentrações mais elevadas de PVPP para alcançar uma maior eficiência do processo de CFD (45, 45 e 100 mg/L), contudo os coagulantes *Platanus x acerifolia* (Aiton) Willd. (sementes), *Tanacetum vulgare* L. (sementes) e sulfato de alumínio exigiram concentrações mais baixas de PVPP (5 mg/L). Portanto, considerando os resultados obtidos em turbidez, SST e CQO, pode concluir-se que as condições operacionais selecionadas na Tabela IV.2, são as melhores para que cada coagulante atinja o máximo desempenho no processo de CFD.

IV.2.4 Efeito do polieletrólico na produção de borra

Em geral, a quantidade e as características da borra produzida durante o processo de coagulação-flocação-decantação dependem do coagulante utilizado e das condições de funcionamento (Amuda and Alade, 2006; Amuda and Amoo, 2007). O volume de borra húmida no fundo do gobelé, após o processo de CFD, foi utilizado para quantificar o volume de borra gerado pelos COP em comparação com o sulfato de alumínio. O volume (mL/L) da borra sedimentada, foi medido por um cone de Imhoff e é mostrado em função do tipo de coagulante e concentração de PVPP na Fig. IV.5 (d).

Após seleção das melhores condições operacionais, os coagulantes em combinação com PVPP produziram 66, 46, 63, 38, 63 e 33 mL/L de borra. Na Fig. IV.5 (d), foi observado que o volume de borra produzida após coagulação com *Acacia dealbata Link.* (pólen), *Quercus ilex L.* (casca da bolota) e *Tanacetum vulgare L.* (sementes), foi reduzido consideravelmente com o aumento da concentração de PVPP. Estes resultados podem dever-se à natureza não iônica da PVPP, que tem um elevado peso molecular, proporcionando assim longas pontes entre pequenos flocos para aumentar o crescimento das partículas. Tem também a capacidade de atrair e manter partículas coloidais em sítios polares na molécula, porque ao contrário dos sais inorgânicos, a PVPP não adiciona peso nem se combina quimicamente com outros iões na água para formar precipitação. Por estas razões, a borra produzida pelos coagulantes em combinação com PVPP foi compacta e reduzida em volume. Estes resultados foram observados anteriormente por outros autores, que empregaram polieletróliticos para aumentar a eficiência da coagulação-flocação-decantação (Aguilar et al., 2002; Amuda et al., 2006; Amuda and Alade, 2006; Amuda and Amoo, 2007; Tatsi et al., 2003). Também, quando comparado com o trabalho de (Amuda and Amoo, 2007), a borra produzida pelos COP-PVPP era muito inferior ao volume de borra do polímero de cloreto férrico (94 mL/L).

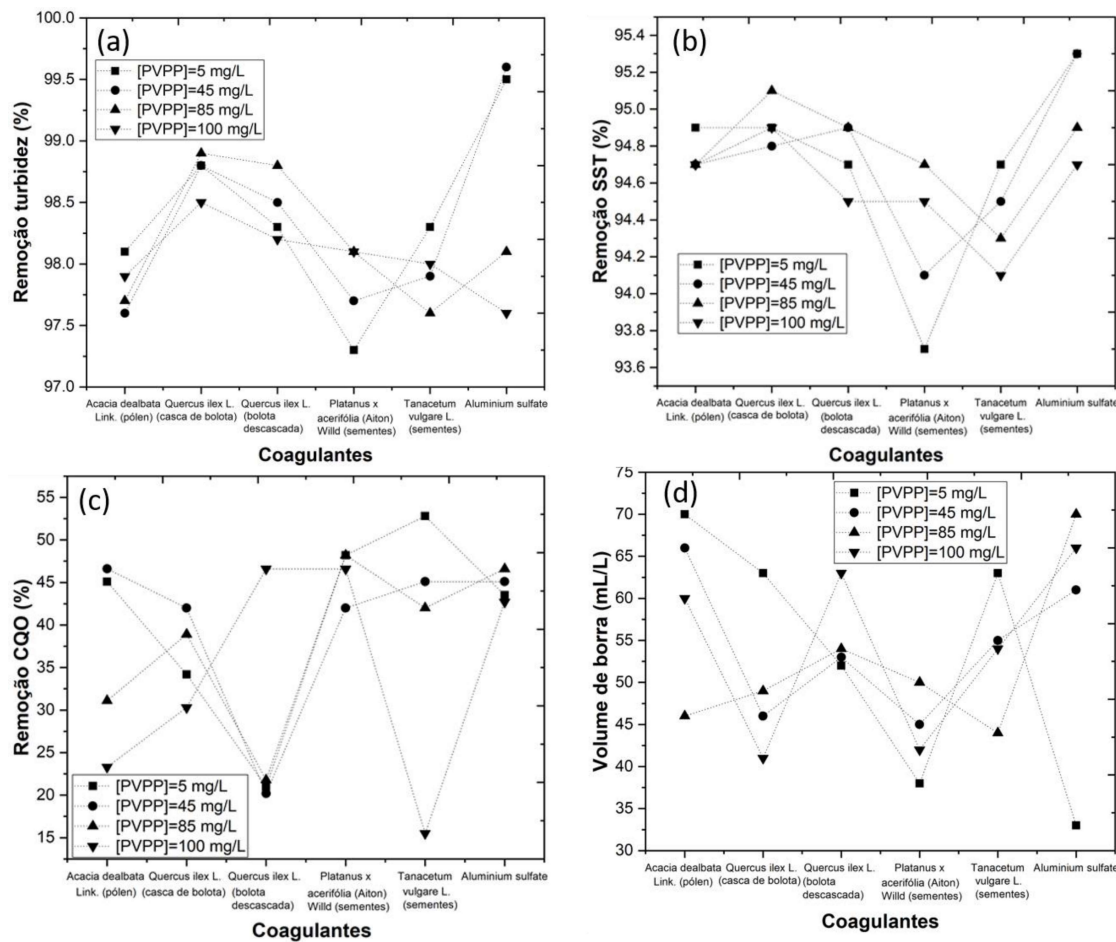


Fig. IV. 5- Efeito da adição de polielectrólito (PVPP) na remoção de (a) turbidez, (b) SST, (c) CQO, (d) volume de borra. Condições operacionais de CFD ($[CQO]_0 = 2145 \text{ mg O}_2/\text{L}$, turbidez = 296 NTU, SST = 750 mg/L, temperatura 298 K, tempo de sedimentação 12 h).

IV.2.5 Determinação da concentração de alumínio residual

A concentração residual de alumínio (Al^{3+}) no sobrenadante coagulado, após o tratamento é indicada na Tabela IV.4. Após a realização do processo de CFD com os coagulantes *Acacia dealbata* Link. (pólen), *Quercus ilex L.* (casca da bolota), *Quercus ilex L.* (bolota descascada), *Platanus x acerifolia* (Aiton) Willd. (sementes) e *Tanacetum vulgare L.* (sementes), foi observado que os valores de lixiviação do alumínio estavam abaixo do valor da legislação portuguesa ($< 10 \text{ mg Al/L}$). Estes valores eram esperados, uma vez que o alumínio representa uma fonte de contaminação para as plantas, conforme observado no trabalho realizado por (Qian et al., 2018). No entanto, após o tratamento combinado com sulfato de alumínio e PVPP, foram observados valores elevados de lixiviação do alumínio ($> 10 \text{ mg Al/L}$). Como observado no capítulo anterior, após a adição de sulfato de alumínio a pH 5,0, verificou-se a formação de várias espécies de

alumínio, o que poderia naturalmente aumentar o teor de Al^{3+} do EV. Segundo o nosso conhecimento, a combinação do tratamento do sulfato de alumínio - PVPP nunca foi realizado no tratamento EV, e com base nestes resultados não é aconselhável devido a possíveis riscos ambientais ($[\text{Al}^{3+}] > 10 \text{ mg Al/L}$), e também ao custo necessário para remover o alumínio das águas residuais após o tratamento pelo processo de CFD.

Os excelentes resultados em termos de turbidez, remoção de SST, baixa lixiviação de alumínio e remoção de CQO pelos COP, poderão aumentar a eficiência e rapidez do processo de oxidação por foto-Fenton.

Tabela IV. 4- Concentração residual de alumínio (Al^{3+}) (mg/L) em função da dosagem de polieletrólito (PVPP). ($[\text{CQO}]_0 = 2145 \text{ mg O}_2/\text{L}$, turbidez = 296 NTU, SST = 750 mg/L, temperatura 298K, tempo de sedimentação 12h).

Coagulante	[Polieletrólito] (mg/L)			
	5	45	85	100
<i>Acacia dealbata</i> Link. (pólen)	0,24	0,10	0,13	0,14
<i>Quercus ilex</i> L. (casca da bolota)	0,08	0,07	0,06	0,12
<i>Quercus ilex</i> L. (bolota descascada)	0,04	0,06	0,07	0,09
<i>Platanus x acerifolia</i> (Aiton) Willd. (sementes)	0,24	0,13	0,25	0,10
<i>Tanacetum vulgare</i> L. (sementes)	0,19	0,08	0,09	0,07
Sulfato de Alumínio	739,43	762,53	824,12	777,93

IV.3 Bibliografia

- Abdelaziz, M., Abdelrazek, E.M., 2007. Effect of dopant mixture on structural, optical and electron spin resonance properties of polyvinyl alcohol. *Phys. B Condens. Matter* 390, 1–9. <https://doi.org/10.1016/j.physb.2006.07.067>
- Abdelghany, A.M., Mekhail, M.S., Abdelrazek, E.M., Aboud, M.M., 2015. Combined DFT/FTIR structural studies of monodispersed PVP/Gold and silver nano particles. *J. Alloys Compd.* 646, 326–332. <https://doi.org/10.1016/j.jallcom.2015.05.262>
- Abdelrazek, E.M., Elashmawi, I.S., El-Khodary, A., Yassin, A., 2010. Structural, optical, thermal and electrical studies on PVA/PVP blends filled with lithium bromide. *Curr. Appl. Phys.* 10, 607–613. <https://doi.org/10.1016/j.cap.2009.08.005>
- Aguilar-López, J., Jaén-Jiménez, J.C., Vargas-Abarca, A.S., Jiménez-Bonilla, P., Vega-Guzmán, I., Herrera-Núñez, J., Alpízar, H.B., Soto-Fallas, R.M., 2012. Extracción y evaluación de taninos condensados a partir de la corteza de once especies maderables de Costa Rica. *Rev. Tecnol. en Marcha* 25, ág-15. <https://doi.org/10.18845/tm.v25i4.615>
- Aguilar, M.I., Saez, J., Llorens, M., Soler, A., Ortuno, J.F., 2002. Nutrient removal and sludge production in the coagulation–flocculation process. *Water Res.* 36, 2910–2919.
- Amaral-Silva, N., Martins, R.C., Paiva, C., Castro-Silva, S., Quinta-Ferreira, R.M., 2016. A new winery wastewater treatment approach during vintage periods integrating ferric coagulation, Fenton reaction and activated sludge. *J. Environ. Chem. Eng.* 4, 2207–2215. <https://doi.org/10.1016/j.jece.2016.03.044>
- Amor, C., De Torres-Socías, E., Peres, J.A., Maldonado, M.I., Oller, I., Malato, S., Lucas, M.S., 2015. Mature landfill leachate treatment by coagulation/flocculation combined with Fenton and solar photo-Fenton processes. *J. Hazard. Mater.* 286, 261–268. <https://doi.org/10.1016/j.jhazmat.2014.12.036>
- Amor, C., Lucas, M.S., Pirra, A.J., Peres, J.A., 2012. Treatment of concentrated fruit juice wastewater by the combination of biological and chemical processes. *J. Environ. Sci. Heal. - Part A Toxic/Hazardous Subst. Environ. Eng.* 47, 1809–1817. <https://doi.org/10.1080/10934529.2012.689244>
- Amuda, O.S., Alade, A., 2006. Coagulation/flocculation process in the treatment of abattoir wastewater. *Desalination* 196, 22–31. <https://doi.org/10.1016/j.desal.2005.10.039>
- Amuda, O.S., Amoo, I.A., 2007. Coagulation/flocculation process and sludge conditioning in beverage industrial wastewater treatment. *J. Hazard. Mater.* 141, 778–783. <https://doi.org/10.1016/j.jhazmat.2006.07.044>
- Amuda, O.S., Amoo, I.A., Ajayi, O.O., 2006. Performance optimization of coagulant/flocculant in the treatment of wastewater from a beverage industry. *J. Hazard. Mater.* 129, 69–72. <https://doi.org/10.1016/j.jhazmat.2005.07.078>
- Araújo, C.S., Alves, V.N., Rezende, H.C., Almeida, I.L., De Assuncao, R., Tarley, C.R., Segatelli, M.G., Coelho, N.M.M., 2010. Characterization and use of *Moringa oleifera* seeds as biosorbent for removing metal ions from aqueous effluents. *Water Sci. Technol.* 62, 2198–2203. <https://doi.org/10.2166/wst.2010.419>

- Ayo, R.G., Amupitan, J.O., Ndukwe, I.G., Audu, O.T., 2014. Some chemical constituents of the leaves of *Cassia nigricans* Vahl. *African J. Pure Appl. Chem.* 3, 208–211.
- Bağcioğlu, M., Zimmermann, B., Kohler, A., 2015. A multiscale vibrational spectroscopic approach for identification and biochemical characterization of pollen. *PLoS One* 10, e0137899. <https://doi.org/10.5061/dryad.b7g8p>
- Borodko, Y., Habas, S.E., Koebel, M., Yang, P., Frei, H., Somorjai, G.A., 2006. Probing the Interaction of Poly (vinylpyrrolidone) with Platinum Nanocrystals by UV– Raman and FTIR. *J. Phys. Chem. B* 110, 23052–23059.
- Boulaadjoul, S., Zemmouri, H., Bendjama, Z., Drouiche, N., 2018. A novel use of *Moringa oleifera* seed powder in enhancing the primary treatment of paper mill effluent. *Chemosphere* 206, 142–149. <https://doi.org/10.1016/j.chemosphere.2018.04.123>
- Brakalov, L.B., 1987. A connection between the orthokinetic coagulation capture efficiency of aggregates and their maximum size. *Chem. Eng. Sci.* 42, 2373–2383. [https://doi.org/10.1016/0009-2509\(87\)80111-2](https://doi.org/10.1016/0009-2509(87)80111-2)
- Braz, R., Pirra, A., Lucas, M.S., Peres, J.A., 2010. Combination of long term aerated storage and chemical coagulation/flocculation to winery wastewater treatment. *Desalination* 263, 226–232. <https://doi.org/10.1016/j.desal.2010.06.063>
- Braz, Rui, Pirra, A., Lucas, M.S., Peres, J.A., 2010. Combination of long term aerated storage and chemical coagulation/flocculation to winery wastewater treatment. *Desalination* 263, 226–232. <https://doi.org/10.1016/j.desal.2010.06.063>
- Camacho, F.P., Sousa, V.S., Bergamasco, R., Teixeira, M.R., 2017. The use of *Moringa oleifera* as a natural coagulant in surface water treatment. *Chem. Eng. J.* 313, 226–237. <https://doi.org/10.1016/j.cej.2016.12.031>
- Chang Chien, S.W., Wang, M.C., Huang, C.C., Seshaiah, K., 2007. Characterization of humic substances derived from swine manure-based compost and correlation of their characteristics with reactivities with heavy metals. *J. Agric. Food Chem.* 55, 4820–4827. <https://doi.org/10.1021/jf070021d>
- Chung, C.Y., Selvarajoo, A., Sethu, V., Koyande, A.K., Arputhan, A., Lim, Z.C., 2018. Treatment of palm oil mill effluent (POME) by coagulation flocculation process using peanut–okra and wheat germ–okra. *Clean Technol. Environ. Policy* 20, 1951–1970. <https://doi.org/10.1007/s10098-018-1619-y>
- Cosme, F., Capão, I., Filipe-Ribeiro, L., Bennett, R.N., Mendes-Faia, A., 2012. Evaluating potential alternatives to potassium caseinate for white wine fining: Effects on physicochemical and sensory characteristics. *LWT-Food Sci. Technol.* 46, 382–387. <https://doi.org/10.1016/j.lwt.2011.12.016>
- Dominguez, J.R., Gonzalez, T., García, H.M., Sánchez-Lavado, F., de Heredia, J.B., 2007. Aluminium sulfate as coagulant for highly polluted cork processing wastewaters: Removal of organic matter. *J. Hazard. Mater.* 148, 15–21. <https://doi.org/10.1016/j.jhazmat.2007.05.003>
- Dubey, S.P., Lahtinen, M., Sillanpää, M., 2010. Tansy fruit mediated greener synthesis of silver and gold nanoparticles. *Process Biochem.* 45, 1065–1071. <https://doi.org/10.1016/j.procbio.2010.03.024>
- Gottardini, E., Rossi, S., Cristofolini, F., Benedetti, L., 2007. Use of Fourier transform infrared (FT-IR) spectroscopy as a tool for pollen identification. *Aerobiologia (Bologna)*. 23, 211–219. <https://doi.org/10.1007/s10453-007-9065-z>

- Graham, N., Gang, F., Fowler, G., Watts, M., 2008. Characterisation and coagulation performance of a tannin-based cationic polymer: A preliminary assessment. *Colloids surfaces A Physicochem. Eng. Asp.* 327, 9–16. <https://doi.org/10.1016/j.colsurfa.2008.05.045>
- Howe, K.J., Hand, D.W., Crittenden, J.C., Trussell, R.R., Tchobanoglous, G., 2012. Principles of water treatment, John Wiley. ed.
- Ishak, A.R., Hamid, F.S., Mohamad, S., Tay, K.S., 2018. Stabilized landfill leachate treatment by coagulation-flocculation coupled with UV-based sulfate radical oxidation process. *Waste Manag.* 76, 575–581. <https://doi.org/10.1016/j.wasman.2018.02.047>
- Iwahashi, M., Tachibana, Y., Ohta, Y., 1982. Accumulation of calcium, magnesium, potassium and sodium with growth of individual leaves, petioles and stems of cucumber plants. *Soil Sci. Plant Nutr.* 28, 441–449. <https://doi.org/10.1080/00380768.1982.10432384>
- Kanter, U., Heller, W., Durner, J., Winkler, J.B., Engel, M., Behrendt, H., Holzinger, A., Braun, P., Hauser, M., Ferreira, F., Mayer, K., Pfeifer, M., Ernst, D., 2013. Molecular and immunological characterization of ragweed (*Ambrosia artemisiifolia* L.) pollen after exposure of the plants to elevated ozone over a whole growing season. *PLoS One* 8, e61518. <https://doi.org/10.1371/journal.pone.0061518>
- Kawsar, S.M.A., Mostafa, G., Huq, E., Nahar, N., Ozeki, Y., 2009. Chemical constituents and hemolytic activity of *Macrotyloma uniflorum* L. *Int. J. Biol. Chem.* 3, 42–48.
- Laborde, B., Moine-Ledoux, V., Richard, T., Saucier, C., Dubourdieu, D., Monti, J.P., 2006. PVPP–polyphenol complexes: a molecular approach. *J. Agric. Food Chem.* 54, 4383–4389. <https://doi.org/10.1021/jf060427a>
- Laot, C.M., Marand, E., Oyama, H.T., 1999. Spectroscopic characterization of molecular interdiffusion at a poly (vinyl pyrrolidone)/vinyl ester interface. *Polymer (Guildf).* 40, 1095–1108.
- Lee, W.J., Lan, W.C., 2006. Properties of resorcinol–tannin–formaldehyde copolymer resins prepared from the bark extracts of Taiwan acacia and China fir. *Bioresour. Technol.* 97, 257–264. <https://doi.org/10.1016/j.biortech.2005.02.009>
- Lewandowska, K., 2005. The miscibility of poly (vinyl alcohol)/poly (N-vinylpyrrolidone) blends investigated in dilute solutions and solids. *Eur. Polym. J.* 41, 55–64. <https://doi.org/10.1016/j.eurpolymj.2004.08.016>
- Li, T., Zhu, Z., Wang, D., Yao, C., Tang, H., 2006. Characterization of floc size, strength and structure under various coagulation mechanisms. *Powder Technol.* 168, 104–110. <https://doi.org/10.1016/j.powtec.2006.07.003>
- Lisperguer, J., Saravia, Y., Vergara, E., 2016. Structure and thermal behavior of tannins from *Acacia dealbata* bark and their reactivity toward formaldehyde. *J. Chil. Chem. Soc.* 61, 3188–3190.
- Madrona, G.S., Serpelloni, G.B., Vieira, A.M.S., Nishi, L., Cardoso, K.C., Bergamasco, R., 2010. Study of the effect of saline solution on the extraction of the *Moringa oleifera* seed's active component for water treatment. *Water, Air, Soil Pollut.* 211, 409–415. <https://doi.org/10.1007/s11270-009-0309-0>
- Marañón, E., Castrillón, L., Fernández-Nava, Y., Fernández-Méndez, A., 2015. Colour , turbidity and COD removal from old landfill leachate by coagulation-flocculation treatment. *Waste Manag. Res.* 28, 731–737. <https://doi.org/10.1177/0734242X09352504>

- Mébarki, M., Hachem, K., Harche, M.K., 2019. Lignocellulosic fraction of the pericarps of the acorns of *Quercus suber* and *Quercus ilex*: isolation, characterization, and biosorption studies in the removal of copper from aqueous solutions. Polish J. Chem. Technol. 21, 40–47. <https://doi.org/10.2478/pjct-2019-0028>
- Mularczyk-Oliwa, M., Bombalska, A., Kaliszewski, M., Włodarski, M., Kopczyński, K., Kwaśny, M., Trafny, E.A., 2012. Comparison of fluorescence spectroscopy and FTIR in differentiation of plant pollens. Spectrochim. Acta Part A Mol. Biomol. Spectrosc. 97, 246–254. <https://doi.org/10.1016/j.saa.2012.05.063>
- Muthreich, F., Zimmermann, B., Birks, H.J.B., Vila-Viçosa, C.M., Seddon, A.W., 2020. Chemical variations in *Quercus* pollen as a tool for taxonomic identification: Implications for long-term ecological and biogeographical research. J. Biogeogr. 47, 1298–1309. <https://doi.org/10.1111/jbi.13817>
- Ndabigengesere, A., Narasiah, K.S., 1998. Use of *Moringa oleifera* seeds as a primary coagulant in wastewater treatment. Environ. Technol. 19, 789–800.
- Nkurunziza, T., Nduwayezu, J.B., Banadda, E.N., Nhapi, I., 2009. The effect of turbidity levels and *Moringa oleifera* concentration on the effectiveness of coagulation in water treatment. Water Sci. Technol. 59, 1551–1558. <https://doi.org/10.2166/wst.2009.155>
- Pappas, C.S., Tarantilis, P.A., Harizanis, P.C., Polissiou, M.G., 2003. New method for pollen identification by FT-IR spectroscopy. Appl. Spectrosc. 57, 23–27. <https://doi.org/10.1366/000370203321165160>
- Qian, L., Li, Q., Sun, J., Feng, Y., 2018. Effect of biochar on plant growth and aluminium form of soil under aluminium stress. IOP Conf. Ser. earth Environ. Sci. 8, 042123.
- Ribeiro, H., Costa, C., Abreu, I., da Silva, J.C.E., 2017. Science of the Total Environment Effect of O₃ and NO₂ atmospheric pollutants on *Platanus x acerifolia* pollen : Immunochemical and spectroscopic analysis. Sci. Total Environ. 599, 291–297. <https://doi.org/10.1016/j.scitotenv.2017.04.206>
- Ribéreau-Gayon, P., Glories, Y., Maujean, A., Dubourdieu, D., 2006. Handbook of Enology, Volume 2: The Chemistry of Wine-Stabilization and Treatments (Vol. 2). John Wiley & Sons.
- Rizzo, L., Lofrano, G., Belgiorno, V., 2010. Olive mill and winery wastewaters pre-treatment by coagulation with chitosan. Sep. Sci. Technol. 45, 2447–2452. <https://doi.org/10.1080/01496395.2010.487845>
- Schulte, F., Lingott, J., Panne, U., Kneipp, J., 2008. Chemical Characterization and Classification of Pollen. Anal. Chem. 80, 9551–9556. <https://doi.org/10.1021/ac801791a>
- Selvi, J.A., Rajendran, S., Sri, V.G., Amalraj, A.J., Narayanasamy, B., 2009. Corrosion inhibition by beet root extract. Port. Electrochim. Acta 27, 1–11.
- Sievers, D.M., Jenner, M.W., Hanna, M., 1994. Treatment of dilute manure wastewaters by chemical coagulation. Trans. ASAE 37, 597–601. <https://doi.org/10.13031/2013.28118>
- Tatsi, A.A., Zouboulis, A.I., Matis, K.A., Samaras, P., 2003. Coagulation–flocculation pretreatment of sanitary landfill leachates. Chemosphere 53, 737–744. [https://doi.org/10.1016/S0045-6535\(03\)00513-7](https://doi.org/10.1016/S0045-6535(03)00513-7)
- Tawansi, A., El-Khodary, A., Abdelnaby, M.M., 2005. A study of the physical properties of FeCl₃ filled PVA. Curr. Appl. Phys. 5, 572–578. <https://doi.org/10.1016/j.cap.2004.06.026>

- Vunain, E., Masoamphambe, E.F., Mpeketula, P.M.G., Monjerezi, M., Etale, A., 2019. Evaluation of coagulating efficiency and water borne pathogens reduction capacity of *Moringa oleifera* seed powder for treatment of domestic wastewater from Zomba, Malawi. *J. Environ. Chem. Eng.* 7, 103118. <https://doi.org/10.1016/j.jece.2019.103118>
- Zhao, F., Elkelish, A., Durner, J., Lindermayr, C., Winkler, J.B., Ruëff, F., Behrend, H., Traidl-Hoffmann, C., Holzinger, A., Kofle, W., Braun, P., Toerne, C. von, Hauck, S.M., Ernst, D., Frank, U., 2016. Common ragweed (*Ambrosia artemisiifolia* L.): allergenicity and molecular characterization of pollen after plant exposure to elevated NO₂. *Plant. Cell Environ.* 39, 147–164. <https://doi.org/10.1111/pce.12601>
- Zhu, K., Gamal El-Din, M., Moawad, A.K., Bromley, D., 2004. Physical and chemical processes for removing suspended solids and phosphorus from liquid swine manure. *Environ. Technol.* 25, 1177–1187. <https://doi.org/10.1080/09593332508618385>
- Zimmermann, B., 2010. Characterization of Pollen by Vibrational Spectroscopy. *Appl. Spectrosc.* 64, 1364–1373. <https://doi.org/10.1366/000370210793561664>
- Zimmermann, B., Kohler, A., 2014. Infrared spectroscopy of pollen identifies plant species and genus as well as environmental conditions. *PLoS One* 9, e95417. <https://doi.org/10.1371/journal.pone.0095417>

V. CONCLUSÕES E PERSPECTIVAS FUTURAS

V.1 Resumo dos principais resultados e conclusões

Neste trabalho utilizou-se o processo de coagulação-flocação-decantação para responder às principais questões deste trabalho, produzir e aplicar coagulantes orgânicos em pó (COP) no tratamento de efluente vinícola. Foi realizada uma coagulação adicional com aplicação de sulfato de alumínio para comparação.

Com base nos resultados obtidos, concluímos que:

1. Neste trabalho, os COP à base de *Acacia dealbata Link.* (pólen), *Quercus ilex L.* (casca da bolota), *Quercus ilex L.* (bolota descascada), *Platanus x acerifolia (Aiton) Willd.* (sementes), *Tanacetum vulgare L.* (sementes) e o sulfato de alumínio são eficazes na remoção da turbidez, SST e CQO;
2. A aplicação dos coagulantes orgânicos em pó tem um efeito significativo na remoção de turbidez, SST e CQO, com percentagens de 86,4, 86,4 e 43,3% respetivamente;
3. Os COP, são economicamente mais vantajosos, porque obtêm uma elevada remoção de turbidez, SST e CQO com pH 3 e dosagem 0,1 g/L em comparação com o sulfato de alumínio que necessita de pH 5 e dosagem 1,0 g/L;
4. A agitação tem influência nos resultados obtidos no processo de coagulação-flocação-decantação;
5. A adição do PVPP como floculante, aumenta a eficiência de remoção da turbidez, SST e CQO com baixa produção de volume de borra. Por exemplo, o coagulante orgânico *Acacia dealbata Link.* (pólen), nas melhores condições atinge valores de 46,6, 97,6, 94,7% na remoção de CQO, turbidez e SST, respetivamente, e um volume de borra de 66 mL/L;
6. A adição do sulfato de alumínio resulta em lixiviações de Al^{3+} superiores ao valor da legislação portuguesa ($>10 \text{ mg Al/L}$), o que induz riscos para a saúde humana e para o ambiente. Contrariamente, os COP têm valores de lixiviação abaixo do limite legal ($< 10 \text{ mg Al/L}$), logo a sua utilização é mais segura.

V.2 Perspetivas Futuras

Os resultados deste trabalho revelaram a importância da aplicação do processo de coagulação-flocação-decantação como uma técnica eficiente e de baixo custo para o tratamento de efluentes agroindustriais. Neste trabalho observou-se também a importância da recuperação de diferentes tipos de plantas e o seu potencial para a produção de coagulantes orgânicos.

No entanto existem vários aspectos neste trabalho que poderão ser melhorados em trabalhos futuros.

Relativamente às plantas escolhidas existe ainda pouca informação acerca da sua constituição química, e no futuro poderão ser realizadas mais análises de forma a obter uma caracterização mais abrangente:

- Realização de uma análise de fenóis totais e flavonoides totais por microplacas;
- Realização de uma análise de atividade antioxidante (ABTS e DPPH) por microplacas;
- Determinação da composição fenólica, α -tocoferol, sacarose por HPLC;
- Determinação de ácidos gordos por GC-MS.

A presença de microorganismos já foi observada, por outros autores, em diferentes habitats naturais como grãos, sementes, flores, folhas de frutos, entre outros. Desta forma os coagulantes orgânicos em pó poderão ser utilizados no futuro como agentes biológicos, possibilitando a criação de um reator biológico para a degradação da matéria biodegradável. Este reator será depois complementado com um reator químico, o qual irá degradar a matéria recalcitrante (material não biodegradável). Na Fig. V.1 é apresentado um esquema do processo em fase de planeamento.

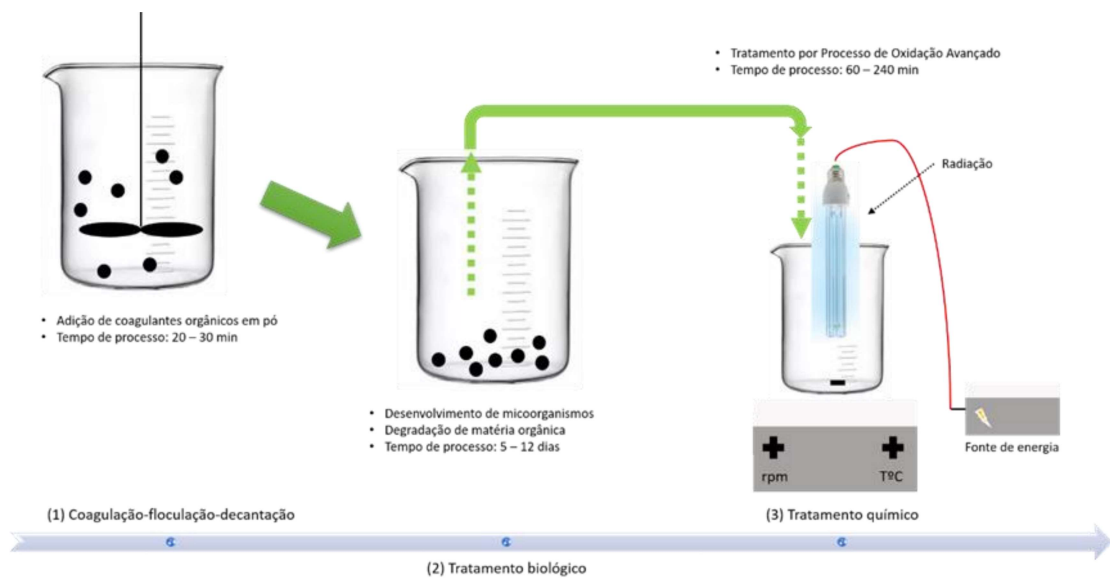


Fig. V. 1-Esquema do tratamento a aplicar para obter água para rega.

Anexo

Tabela A. 1 – Efeito da dosagem vs pH na remoção de CQO.

<i>Acacia dealbata Link, (polén)</i>										
pH	3		5		7		9		11	
Dosagem (g/L)	CQO	%								
0,1	1328	38,1	1312	38,9	1345	37,3	1278	40,4	1512	29,5
0,5	1545	28,0	1412	34,2	1445	32,6	1312	38,9	1478	31,1
1	1678	21,8	1478	31,1	1712	20,2	1412	34,2	1712	20,2
2	1978	7,8	1745	18,6	1412	34,2	1745	18,6	2145	0,0
<i>Quercus ilex L, (casa de bolota)</i>										
pH	3		5		7		9		11	
Dosagem (g/L)	CQO	%								
0,1	1212	43,5	1345	37,3	1345	37,3	1412	34,2	1245	42,0
0,5	1545	28,0	1312	38,9	1445	32,6	1312	38,9	1012	52,8
1	1745	18,6	1478	31,1	1478	31,1	1145	46,6	1145	46,6
2	1578	26,4	1262	41,2	1178	45,1	1212	43,5	1295	39,6
<i>Quercus ilex L, (bolota descascada)</i>										
pH	3		5		7		9		11	
Dosagem (g/L)	CQO	%								
0,1	1445	32,6	1312	38,9	1345	37,3	1262	41,2	1595	25,6
0,5	1745	18,6	1445	32,6	1562	27,2	1312	38,9	1712	20,2
1	1745	18,6	1578	26,4	1695	21,0	1145	46,6	1795	16,3
2	2145	0,0	1812	15,5	1628	24,1	1412	34,2	2145	0,0
<i>Platanus x acerifolia (Aiton) Willd, (sementes)</i>										
pH	3		5		7		9		11	
Dosagem (g/L)	CQO	%								
0,1	1278	40,4	1245	42,0	1328	38,1	1112	48,2	1312	38,9
0,5	1528	28,7	1462	31,9	1378	35,7	1212	43,5	1245	42,0
1	1278	40,4	1262	41,2	1312	38,9	1245	42,0	1312	38,9
2	1278	40,4	1428	33,4	1328	38,1	1395	35,0	1212	43,5
<i>Tanacetum vulgare L, (sementes)</i>										
pH	3		5		7		9		11	
Dosagem (g/L)	CQO	%								
0,1	1478	31,1	1278	40,4	1162	45,8	1278	40,4	1195	44,3
0,5	1578	26,4	1295	39,6	1345	37,3	1212	43,5	1295	39,6
1	1512	29,5	1478	31,1	1828	14,8	1378	35,7	1712	20,2
2	1312	38,9	1678	21,8	1428	33,4	1278	40,4	1795	16,3
<i>Sulfato de alumínio</i>										
pH	3		5		7		9		11	
Dosagem (g/L)	CQO	%								
0,1	1528	28,7	1545	28,0	1445	32,6	1645	23,3	2145	0,0
0,5	1678	21,8	1628	24,1	1562	27,2	1478	31,1	1628	24,1
1	1478	31,1	1462	31,9	1328	38,1	1612	24,9	1612	24,9
2	1412	34,2	1478	31,1	1678	21,8	1495	30,3	1645	23,3

Tabela A. 2 – Efeito da dosagem vs pH na remoção de turbidez.

<i>Acacia dealbata Link, (polén)</i>										
pH	3		5		7		9		11	
Dosage m (g/L)	Turbidez	%								
0,1	50,2	83,0	55,1	81,4	57,2	80,7	67,3	77,3	26,4	91,1
0,5	50,3	83,0	62,3	79,0	57,5	80,6	60,9	79,4	30,0	89,9
1	57,4	80,6	67,6	77,2	60,9	79,4	74,3	74,9	30,4	89,7
2	68,1	77,0	68,6	76,8	80,3	72,9	78,2	73,6	34,7	88,3
<i>Quercus ilex L, (casa de bolota)</i>										
pH	3		5		7		9		11	
Dosage m (g/L)	Turbidez	%								
0,1	42,0	85,8	41,8	85,9	48,7	83,5	52,8	82,2	25,9	91,3
0,5	42,1	85,8	43,9	85,2	50,0	83,1	52,6	82,2	27,4	90,8
1	40,7	86,3	48,5	83,6	42,9	85,5	46,2	84,4	28,7	90,3
2	43,7	85,3	50,9	82,8	52,4	82,3	56,2	81,0	28,6	90,3
<i>Quercus ilex L, (bolota descascada)</i>										
pH	3		5		7		9		11	
Dosage m (g/L)	Turbidez	%								
0,1	42,8	85,6	41,6	86,0	42,2	85,7	41,1	86,1	25,7	91,3
0,5	41,4	86,0	42,4	85,7	47,0	84,1	47,6	83,9	37,8	87,2
1	41,8	85,9	47,3	84,0	43,9	85,2	54,6	81,6	43,6	85,3
2	39,5	86,7	41,6	86,0	50,0	83,1	71,8	75,8	55,8	81,2
<i>Platanus x acerifolia (Aiton) Willd, (sementes)</i>										
pH	3		5		7		9		11	
Dosage m (g/L)	Turbidez	%								
0,1	40,3	86,4	46,4	84,3	49,7	83,2	61,5	79,2	26,4	91,1
0,5	40,8	86,2	51,0	82,8	43,6	85,3	65,1	78,0	26,9	90,9
1	42,3	85,7	52,1	82,4	43,8	85,2	63,7	78,5	32,8	88,9
2	51,2	82,7	53,8	81,8	52,7	82,2	66,7	77,5	41,2	86,1
<i>Tanacetum vulgare L, (sementes)</i>										
pH	3		5		7		9		11	
Dosage m (g/L)	Turbidez	%								
0,1	41,4	86,0	36,0	87,9	43,1	85,4	46,3	84,4	25,5	91,4
0,5	41,2	86,1	43,4	85,3	41,8	85,9	51,4	82,6	29,6	90,0
1	42,3	85,7	55,1	81,4	40,2	86,4	64,3	78,3	31,6	89,3
2	41,3	86,0	54,5	81,6	68,6	76,8	71,6	75,8	34,6	88,3
Sulfato de alumínio										
pH	3		5		7		9		11	
Dosage m (g/L)	Turbidez	%								
0,1	41,7	85,9	43,6	85,3	47,5	84,0	40,7	86,3	20,1	93,2
0,5	23,1	92,2	8,0	97,3	6,4	97,8	5,5	98,1	32,9	88,9
1	11,9	96,0	7,5	97,5	5,2	98,2	4,6	98,4	1,8	99,4
2	10,9	96,3	5,7	98,1	7,1	97,6	2,3	99,2	3,3	98,9

Tabela A. 3 – Efeito da dosagem vs pH na remoção de SST.

<i>Acacia dealbata Link, (polén)</i>										
pH	3		5		7		9		11	
Dosagem (g/L)	SST	%								
0,1	132	82,5	138	81,6	160	78,7	208	72,3	120	84,1
0,5	130	82,7	158	78,9	146	80,6	185	75,3	130	82,7
1	143	80,9	163	78,3	156	79,3	215	71,3	127	83,1
2	165	78,1	164	78,1	200	73,3	231	69,2	149	80,1
<i>Quercus ilex L, (casa de bolota)</i>										
pH	3		5		7		9		11	
Dosagem (g/L)	SST	%								
0,1	108	85,6	100	86,7	123	83,7	150	80,0	115	84,7
0,5	103	86,3	114	84,9	126	83,2	147	80,5	119	84,2
1	103	86,3	121	83,9	107	85,7	134	82,1	129	82,9
2	100	86,7	122	83,7	133	82,3	147	80,5	118	84,3
<i>Quercus ilex L, (bolota descascada)</i>										
pH	3		5		7		9		11	
Dosagem (g/L)	SST	%								
0,1	112	85,1	97	87,1	108	85,6	140	81,3	131	82,5
0,5	98	86,9	113	84,9	125	83,4	147	80,4	149	80,1
1	100	86,7	122	83,8	118	84,3	158	78,9	172	77,1
2	95	87,3	109	85,5	139	81,5	203	73,0	201	73,3
<i>Platanus x acerifolia (Aiton) Willd, (sementes)</i>										
pH	3		5		7		9		11	
Dosagem (g/L)	SST	%								
0,1	102	86,4	125	83,3	131	82,5	196	73,9	122	83,8
0,5	104	86,1	127	83,1	112	85,1	192	74,4	111	85,3
1	104	86,1	125	83,4	110	85,3	187	75,1	128	83,0
2	124	83,5	129	82,9	145	80,7	190	74,7	138	81,6
<i>Tanacetum vulgare L, (sementes)</i>										
pH	3		5		7		9		11	
Dosagem (g/L)	SST	%								
0,1	114	84,8	86	88,5	122	83,7	169	77,5	128	82,9
0,5	94	87,5	110	85,3	109	85,5	169	77,5	144	80,8
1	100	86,7	132	82,5	97	87,1	190	74,7	144	80,8
2	90	88,0	132	82,5	176	76,5	191	74,5	146	80,5
Sulfato de alumínio										
pH	3		5		7		9		11	
Dosagem (g/L)	SST	%								
0,1	116	84,5	114	84,9	132	82,4	95	87,3	86	88,5
0,5	80	89,3	56	92,5	53	92,9	45	94,0	75	90,0
1	62	91,7	55	92,7	49	93,5	44	94,1	36	95,2
2	60	92,0	49	93,5	50	93,3	40	94,7	43	94,3

Tabela A. 4 – Efeito do tipo de mistura na remoção de CQO, turbidez e SST.

Coagulantes	Mistura rápida	Mistura lenta	CQO		Turbidez		SST	
	rpm/min	rpm/min	mg O ₂ /L	%	NTU	%	mg/L	%
<i>Acacia dealbata Link,</i> (pólen)	120/1	20/30	1312	38,9	41,2	86,1	118	84,3
	150/2	50/30	1445	32,6	41,2	86,1	105	86,0
	150/3	20/20	1328	38,1	50,2	83,0	132	82,5
	180/3	40/17	1428	33,4	43,0	85,5	109	85,5
	200/2	60/30	1345	37,3	41,3	86,1	104	86,1
<i>Quercus ilex L.</i> , (casa de bolota)	120/1	20/30	1612	24,9	43,2	85,4	106	85,9
	150/2	50/30	1245	42,0	40,5	86,3	111	85,3
	150/3	20/20	1212	43,5	42,0	85,8	108	85,6
	180/3	40/17	1395	35,0	40,7	86,3	113	84,9
	200/2	60/30	1512	29,5	40,4	86,4	112	85,1
<i>Quercus ilex L.</i> , (bolota descascada)	120/1	20/30	1345	37,3	42,6	85,6	125	83,4
	150/2	50/30	1495	30,3	40,6	86,3	111	85,3
	150/3	20/20	1445	32,6	42,8	85,6	112	85,1
	180/3	40/17	1295	39,6	39,3	86,7	96	87,2
	200/2	60/30	1178	45,1	54,7	81,5	160	78,7
<i>Platanus x acerifolia</i> (Aiton) Willd., (sementes)	120/1	20/30	1178	45,1	60,3	79,6	167	77,7
	150/2	50/30	1312	38,9	62,0	79,1	180	76,0
	150/3	20/20	1278	40,4	40,3	86,4	102	86,4
	180/3	40/17	1312	38,9	60,9	79,4	174	76,9
	200/2	60/30	1445	32,6	66,1	77,7	184	75,5
<i>Tanacetum vulgare L.</i> , (sementes)	120/1	20/30	1062	50,5	46,4	84,3	133	82,3
	150/2	50/30	1212	43,5	51,8	82,5	147	80,4
	150/3	20/20	1478	31,1	41,4	86,0	114	84,8
	180/3	40/17	1078	49,7	50,8	82,9	147	80,5
	200/2	60/30	1112	48,2	48,9	83,5	140	81,3
Sulfato de alumínio	120/1	20/30	1212	43,5	12,9	95,6	63	91,6
	150/2	50/30	1312	38,9	14,3	95,2	71	90,6
	150/3	20/20	1462	31,9	7,5	97,5	55	92,7
	180/3	40/17	1478	31,1	12,8	95,7	68	90,9
	200/2	60/30	1478	31,1	15,6	94,7	75	90,0

Tabela A. 5 – Efeito da adição de PVPP na remoção de CQO, turbidez, SST, volume de borra e lixiviação de Al³⁺.

Coagulantes	[PVPP]	CQO		Turbidez		SST		Volume de borra	[Al ³⁺]
		mg/L	mg O ₂ /L	%	mg/L	%	mg/L		
<i>Acacia dealbata Link,</i> (pólen)	5	1178	45,1	5,7	98,1	38	94,9	70	0,24
	45	1145	46,6	7,1	97,6	40	94,7	66	0,10
	85	1478	31,1	6,8	97,7	40	94,7	46	0,13
	100	1645	23,3	6,3	97,9	40	94,7	60	0,14
<i>Quercus ilex L.</i> , (casa de bolota)	5	1412	34,2	3,4	98,8	38	94,9	63	0,08
	45	1245	42,0	3,5	98,8	39	94,8	46	0,07
	85	1312	38,9	3,2	98,9	37	95,1	49	0,06
	100	1495	30,3	4,5	98,5	38	94,9	41	0,12
<i>Quercus ilex L.</i> , (bolota descascada)	5	1695	21,0	5,0	98,3	40	94,7	52	0,04
	45	1712	20,2	4,4	98,5	38	94,9	53	0,06
	85	1678	21,8	3,6	98,8	38	94,9	54	0,07
	100	1145	46,6	5,4	98,2	41	94,5	63	0,09
<i>Platanus x acerifolia</i> (Aiton) Willd, (sementes)	5	1112	48,2	8,1	97,3	47	93,7	38	0,24
	45	1245	42,0	6,8	97,7	44	94,1	45	0,13
	85	1112	48,2	5,6	98,1	40	94,7	50	0,25
	100	1145	46,6	5,6	98,1	41	94,5	42	0,10
<i>Tanacetum vulgare L.</i> , (sementes)	5	1012	52,8	5,0	98,3	40	94,7	63	0,19
	45	1178	45,1	6,3	97,9	41	94,5	55	0,08
	85	1245	42,0	7,0	97,6	43	94,3	44	0,09
	100	1812	15,5	5,9	98,0	44	94,1	54	0,07
Sulfato de alumínio	5	1212	43,5	1,6	99,5	35	95,3	33	739,43
	45	1178	45,1	1,1	99,6	35	95,3	61	762,53
	85	1145	46,6	5,7	98,1	38	94,9	70	824,12
	100	1228	42,7	7,1	97,6	40	94,7	66	777,93